調４２２－（３）－３

第422回地震調査委員会資料

〈目　　次〉

- 広帯域地震計を用いたモーメントテンソル解析結果（2025年11月01日-11月30日） ・・・・・2
- 紀伊半島・東海地域の深部低周波微動活動状況（2025年11月）・・・・・・・・・・・・・・・・・・・・・・・・・ 14
- 四国の深部低周波微動活動状況（2025年11月）・・・・・・・・・・・・・・・・・・・・・・・・・・・・・・・・・・・・ 15
- 2025年11月25日熊本県阿蘇地方の地震による強震動・・・・・・・・・・・・・・・・・・・・・・・・・・・・・・・・・ 16
- 2025年12月8日青森県東方沖の地震観測点補正値による震源再決定・・・・・・・・・・・・・・・・・・・・・・・ 18
- 2025年12月8日青森県東方沖の地震（F-netによるメカニズム解）・・・・・・・・・・・・・・・・・・・・・・・・ 19
- 2025年12月8日青森県東方沖の地震の震源過程（暫定）・・・・・・・・・・・・・・・・・・・・・・・・・・・・・・ 20
- 2025年12月8日青森県東方沖の地震の周辺域における浅部超低周波地震活動・・・・・・・・・・・・・・・ 22

令和7年12月25日

国立研究開発法人
防災科学技術研究所
National Research Institute for Earth Science and Disaster Resilience

MOWLAS
Monitoring of Waves on Land and Seafloor

防災科研
NIED

広帯域地震計を用いたモーメントテンソル解析結果
(2025 年 11 月 01 日―11 月 30 日)

国立研究開発法人 防災科学技術研究所

期間中のイベント数:144

・北海道地方

12) 釧路沖 (11/06 23:29 Mw4.3 H_20km VR62.14/3) 北北西ー南南東伸張の正断層
23) 択捉島付近 (11/08 16:56 Mw4.4 H_68km VR77.23/3) 東西圧縮の横ずれ断層
36) 浦河沖 (11/09 13:16 Mw4.2 H_56km VR76.10/3) 西北西ー東南東圧縮の逆断層
116) 国後島付近 (11/21 12:17 Mw4.1 H_83km VR68.16/3) 北西ー南東方向に圧縮軸を持つ型
123) 根室半島南東沖 (11/24 01:16 Mw4.0 H_14km VR84.92/3) 西北西ー東南東圧縮の逆断層
139) 釧路沖 (11/27 01:43 Mw4.6 H_74km VR85.57/3) 北北東ー南南西方向に圧縮軸を持つ型

・東北地方

1) 岩手県沖 (11/01 23:44 Mw4.2 H_50km VR87.23/3) 西北西ー東南東方向に圧縮軸を持つ型
3) 三陸沖 (11/02 18:57 Mw4.6 H_17km VR82.72/3) 西北西ー東南東圧縮の逆断層
4) 三陸沖 (11/02 19:03 Mw4.3 H_17km VR74.24/3) 西北西ー東南東圧縮の逆断層
5) 三陸沖 (11/03 19:17 Mw4.8 H_20km VR79.65/3) 西北西ー東南東圧縮の逆断層
6) 三陸沖 (11/04 04:16 Mw5.1 H_14km VR83.69/3) 西北西ー東南東圧縮の逆断層
7) 三陸沖 (11/05 06:06 Mw4.0 H_17km VR83.58/3) 西北西ー東南東圧縮の逆断層
11) 三陸沖 (11/06 13:04 Mw4.0 H_17km VR75.57/3) 西北西ー東南東圧縮の逆断層
19) 三陸沖 (11/08 05:53 Mw4.1 H_17km VR80.27/3) 西北西ー東南東圧縮の逆断層
20) 三陸沖 (11/08 10:13 Mw4.6 H_17km VR85.65/3) 西北西ー東南東圧縮の逆断層
22) 三陸沖 (11/08 11:36 Mw4.6 H_14km VR59.04/3) 西北西ー東南東圧縮の逆断層
24) 三陸沖 (11/08 17:13 Mw4.2 H_17km VR82.49/3) 西北西ー東南東圧縮の逆断層
25) 三陸沖 (11/08 19:54 Mw4.2 H_17km VR85.76/3) 西北西ー東南東圧縮の逆断層
28) 三陸沖 (11/09 05:29 Mw5.2 H_17km VR78.76/3) 西北西ー東南東圧縮の逆断層
29) 三陸沖 (11/09 06:04 Mw5.3 H_17km VR80.10/3) 西北西ー東南東圧縮の逆断層
31) 三陸沖 (11/09 07:15 Mw5.5 H_17km VR79.64/3) 西北西ー東南東圧縮の逆断層
32) 三陸沖 (11/09 07:27 Mw4.8 H_17km VR73.98/3) 西北西ー東南東圧縮の逆断層
33) 三陸沖 (11/09 07:33 Mw5.0 H_17km VR76.91/3) 西北西ー東南東圧縮の逆断層
34) 三陸沖 (11/09 09:17 Mw5.1 H_17km VR79.58/3) 西北西ー東南東圧縮の逆断層
35) 三陸沖 (11/09 11:32 Mw4.3 H_17km VR76.02/3) 北北西ー南南東方向に圧縮軸を持つ型
37) 三陸沖 (11/09 16:36 Mw4.0 H_14km VR82.57/3) 西北西ー東南東圧縮の逆断層
38) 三陸沖 (11/09 17:03 Mw6.5 H_14km VR78.04/3) 西北西ー東南東圧縮の逆断層
39) 三陸沖 (11/09 17:14 Mw5.8 H_17km VR76.37/3) 西北西ー東南東圧縮の逆断層
40) 三陸沖 (11/09 17:34 Mw5.5 H_17km VR75.21/3) 西北西ー東南東圧縮の逆断層
41) 三陸沖 (11/09 17:49 Mw5.3 H_14km VR68.50/3) 西北西ー東南東圧縮の逆断層
42) 三陸沖 (11/09 17:54 Mw6.3 H_17km VR84.36/3) 西北西ー東南東圧縮の逆断層
43) 三陸沖 (11/09 18:10 Mw5.2 H_17km VR57.14/3) 西北西ー東南東圧縮の逆断層
44) 三陸沖 (11/09 18:28 Mw5.6 H_17km VR76.73/3) 西北西ー東南東圧縮の逆断層
45) 三陸沖 (11/09 18:52 Mw5.2 H_20km VR60.07/3) 西北西ー東南東圧縮の逆断層
46) 三陸沖 (11/09 20:11 Mw4.7 H_17km VR66.96/3) 西北西ー東南東方向に圧縮軸を持つ型

47) 三陸沖　(11/09 21:15 Mw4.3 H_17km VR70.19/3) 西北西ー東南東圧縮の逆断層
49) 三陸沖　(11/09 22:50 Mw4.0 H_17km VR83.80/3) 西北西ー東南東圧縮の逆断層
51) 三陸沖　(11/09 23:41 Mw4.6 H_17km VR83.15/3) 西北西ー東南東圧縮の逆断層
52) 三陸沖　(11/10 00:23 Mw4.0 H_11km VR70.48/3) 西北西ー東南東圧縮の逆断層
54) 三陸沖　(11/10 00:44 Mw4.9 H_14km VR91.27/3) 西北西ー東南東圧縮の逆断層
55) 三陸沖　(11/10 00:46 Mw4.9 H_17km VR88.46/3) 西北西ー東南東圧縮の逆断層
56) 三陸沖　(11/10 00:58 Mw4.2 H_20km VR61.65/3) 西北西ー東南東方向に圧縮軸を持つ型
57) 三陸沖　(11/10 01:42 Mw4.3 H_8km VR83.47/3) 西北西ー東南東圧縮の逆断層
59) 三陸沖　(11/10 03:28 Mw4.0 H_17km VR74.63/3) 西北西ー東南東圧縮の逆断層
60) 三陸沖　(11/10 07:04 Mw5.0 H_8km VR76.24/3) 西北西ー東南東圧縮の逆断層
61) 三陸沖　(11/10 07:41 Mw4.7 H_17km VR85.64/3) 西北西ー東南東圧縮の逆断層
62) 三陸沖　(11/10 07:45 Mw4.0 H_11km VR60.67/3) 西北西ー東南東圧縮の逆断層
65) 三陸沖　(11/10 09:40 Mw4.4 H_17km VR86.89/3) 西北西ー東南東圧縮の逆断層
66) 三陸沖　(11/10 10:20 Mw5.3 H_11km VR77.13/3) 西北西ー東南東圧縮の逆断層
67) 三陸沖　(11/10 10:55 Mw4.4 H_17km VR78.56/3) 西北西ー東南東圧縮の逆断層
68) 岩手県沖　(11/10 12:00 Mw5.3 H_23km VR89.45/3) 西北西ー東南東圧縮の逆断層
70) 三陸沖　(11/10 15:18 Mw4.6 H_11km VR84.14/3) 西北西ー東南東圧縮の逆断層
71) 三陸沖　(11/10 16:23 Mw6.0 H_17km VR78.40/3) 西北西ー東南東圧縮の逆断層
72) 三陸沖　(11/10 18:59 Mw5.1 H_17km VR85.25/3) 西北西ー東南東圧縮の逆断層
75) 三陸沖　(11/11 05:44 Mw4.2 H_11km VR86.25/3) 東西圧縮の逆断層
77) 三陸沖　(11/11 21:03 Mw4.3 H_14km VR91.64/3) 東北東ー西南西圧縮の逆断層
81) 三陸沖　(11/12 09:29 Mw5.4 H_17km VR82.01/3) 西北西ー東南東圧縮の逆断層
82) 三陸沖　(11/12 12:57 Mw4.9 H_11km VR85.22/3) 西北西ー東南東圧縮の逆断層
86) 三陸沖　(11/13 04:08 Mw4.2 H_17km VR86.02/3) 西北西ー東南東圧縮の逆断層
89) 三陸沖　(11/13 16:22 Mw4.1 H_14km VR82.10/3) 東西伸張の正断層
90) 三陸沖　(11/13 16:57 Mw4.1 H_11km VR85.02/3) 西北西ー東南東圧縮の逆断層
91) 三陸沖　(11/14 04:58 Mw5.2 H_14km VR76.75/3) 西北西ー東南東圧縮の逆断層
95) 福島県沖　(11/15 00:01 Mw4.3 H_41km VR88.31/3) 西北西ー東南東圧縮の逆断層
96) 福島県沖　(11/15 02:34 Mw4.1 H_35km VR91.46/3) 南北圧縮の逆断層
99) 岩手県沖　(11/16 03:06 Mw4.5 H_17km VR89.79/3) 西北西ー東南東圧縮の逆断層
104) 三陸沖　(11/16 22:19 Mw4.2 H_17km VR85.52/3) 西北西ー東南東圧縮の逆断層
105) 岩手県沖　(11/18 04:06 Mw5.4 H_14km VR84.22/3) 西北西ー東南東方向に圧縮軸を持つ型
107) 岩手県沖　(11/18 11:05 Mw4.3 H_29km VR87.94/3) 北北西ー南南東伸張の正断層
108) 青森県東方沖　(11/18 17:21 Mw4.6 H_50km VR87.68/3) 西北西ー東南東方向に圧縮軸を持つ型
109) 三陸沖　(11/19 11:23 Mw4.6 H_14km VR76.94/3) 西北西ー東南東圧縮の逆断層
119) 三陸沖　(11/21 21:22 Mw5.5 H_14km VR85.39/3) 西北西ー東南東圧縮の逆断層
140) 三陸沖　(11/28 05:34 Mw4.1 H_8km VR76.41/3) 西北西ー東南東圧縮の逆断層
143) 三陸沖　(11/30 06:46 Mw4.2 H_14km VR74.49/3) 西北西ー東南東圧縮の逆断層

・関東・中部地方

8) 房総半島南東沖　(11/05 07:17 Mw4.8 H_50km VR70.63/3) 北西ー南東方向に圧縮軸を持つ型
30) 茨城県南部　(11/09 06:24 Mw4.2 H_74km VR80.99/3) 東西圧縮の逆断層

87) 茨城県沖　(11/13 09:54 Mw4.7 H_23km VR84.14/3) 西北西一東南東圧縮の逆断層

100) 岐阜県飛騨地方　(11/16 03:50 Mw4.2 H270km VR91.40/3) 北東一南西伸張の正断層

127) 関東東方沖　(11/25 16:59 Mw4.4 H_5km VR66.02/3) 西北西一東南東圧縮の逆断層

・小笠原地方

10) 父島近海　(11/05 17:54 Mw4.2 H_41km VR62.40/3) 東西圧縮の逆断層

16) 鳥島東方沖　(11/07 09:20 Mw5.1 H_5km VR80.22/3) 東北東一西南西圧縮の逆断層

121) 鳥島東方沖　(11/22 18:06 Mw4.7 H_5km VR57.53/3) 東北東一西南西圧縮の逆断層

・東海道沖

136) 東海道沖　(11/26 12:26 Mw4.4 H480km VR65.98/3) 北東一南西方向に圧縮軸を持つ型

・近畿地方

2) 和歌山県北部　(11/02 07:30 Mw4.0 H_8km VR85.83/3) 東西圧縮の逆断層

・九州地方

13) 日向灘　(11/07 01:23 Mw4.5 H_17km VR75.57/3) 西北西一東南東圧縮の逆断層

14) 日向灘　(11/07 04:25 Mw4.4 H_23km VR77.00/3) 西北西一東南東圧縮の逆断層

113) 奄美大島近海　(11/20 05:33 Mw4.0 H_65km VR70.42/3) 西北西一東南東方向に圧縮軸を持つ型

128) 熊本県阿蘇地方　(11/25 18:01 Mw5.3 H_5km VR93.74/3) 北北西一南南東伸張の横ずれ断層

131) 熊本県阿蘇地方　(11/25 21:59 Mw4.4 H_5km VR94.08/3) 北北西一南南東伸張の横ずれ断層

142) 奄美大島近海　(11/29 07:40 Mw4.8 H_5km VR59.96/3) 東西伸張の正断層

・沖縄地方

9) 台湾付近　(11/05 14:28 Mw4.0 H_44km VR50.22/2) 西北西一東南東方向に圧縮軸を持つ型

69) 台湾付近　(11/10 14:00 Mw5.1 H_38km VR68.49/2) 北北西一南南東方向に圧縮軸を持つ型

88) 石垣島近海　(11/13 12:24 Mw4.6 H104km VR87.86/2) 東北東一西南西方向に圧縮軸を持つ型

97) 台湾付近　(11/15 08:56 Mw4.8 H_5km VR92.27/2) 北北西一南南東伸張の正断層

111) 沖縄本島近海　(11/20 02:17 Mw4.3 H_23km VR67.08/3) 北西一南東圧縮の逆断層

115) 東シナ海　(11/21 08:36 Mw5.1 H130km VR84.01/3) 北北西一南南東方向に圧縮軸を持つ型

137) 東シナ海　(11/26 20:55 Mw4.8 H260km VR73.67/3) 東北東一西南西伸張の正断層

138) 台湾付近　(11/27 00:12 Mw4.2 H_41km VR75.09/2) 北西一南東圧縮の逆断層

---

*Mw4.0以上をリストアップ.

**下線部はMw5.0以上を示す.

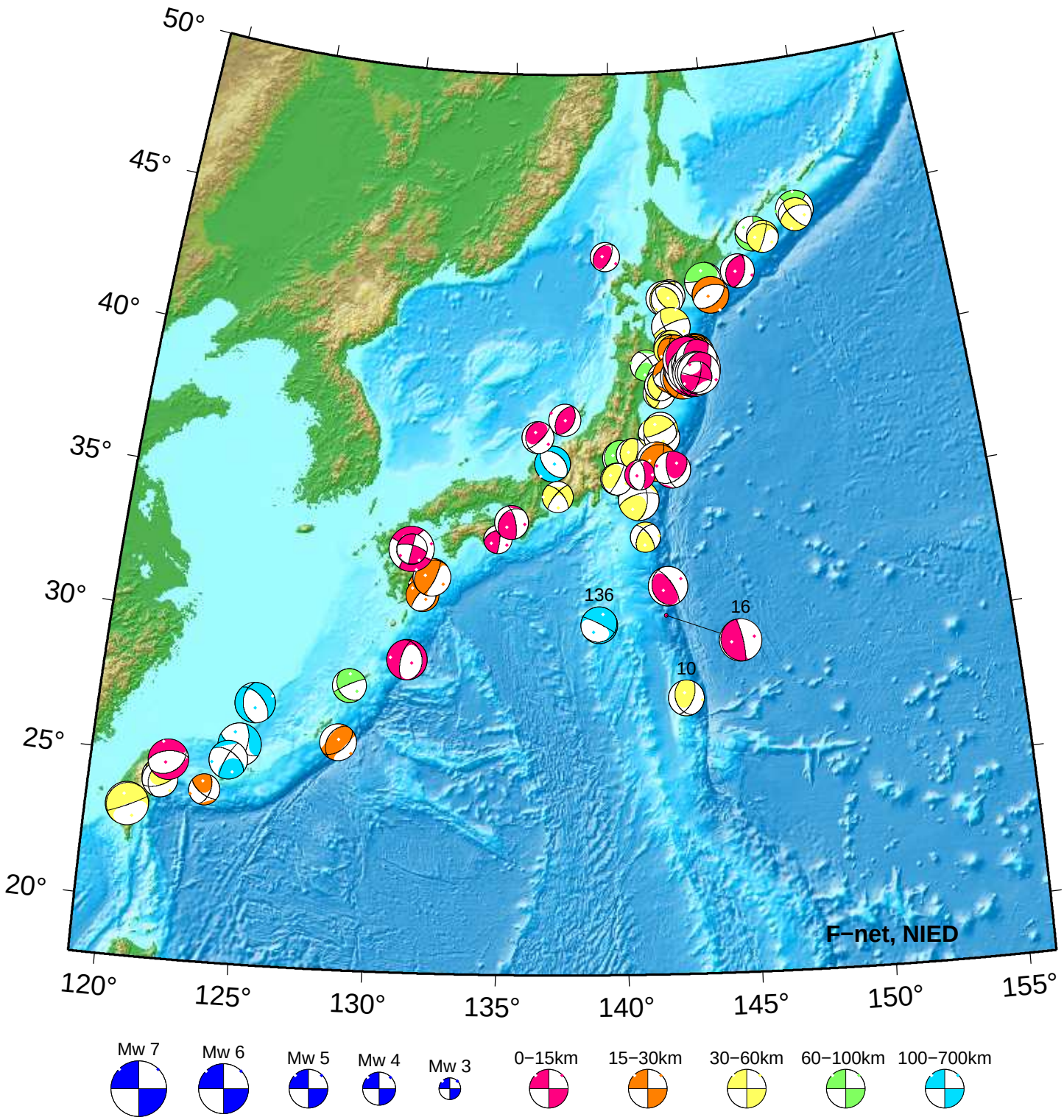
***”VR”欄の”/”の後の数は解析に使用した観測点数を示す.

****断層タイプの分類はFrohlich [1992]による.

謝辞　地形データは海上保安庁のものを使用させて頂きました. 記して感謝いたします.

NIED Moment Tensor Solutions

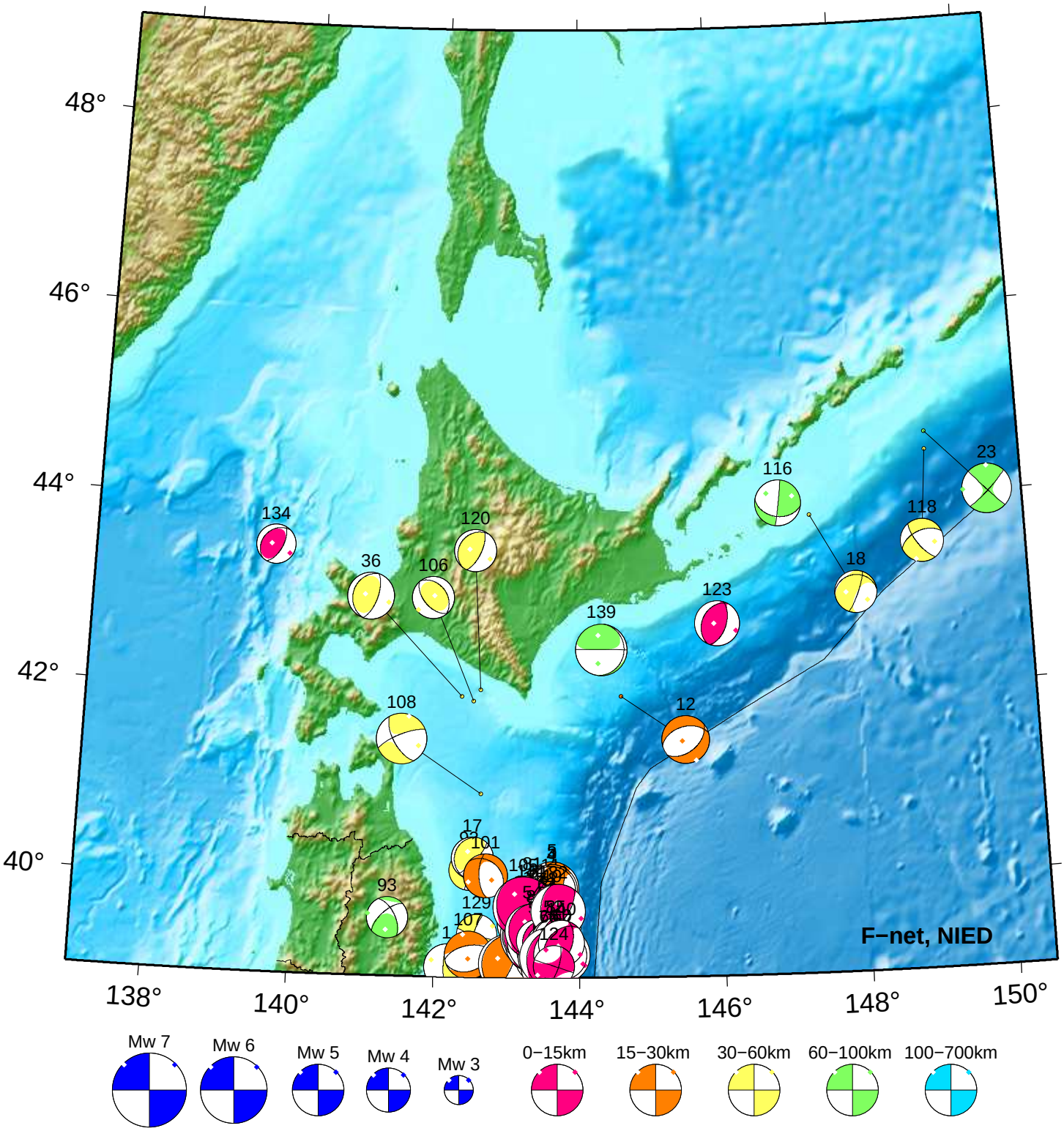
Nov 01,2025−Nov 30,2025(JST)



10. 11/05 17:54 Mw4.2 H_41km VR62.4 **16. 11/07 09:20 Mw5.1 H__5km VR80.2** **136. 11/26 12:26 Mw4.4 H480km VR66.0**

Hokkaido

Nov 01,2025−Nov 30,2025(JST)



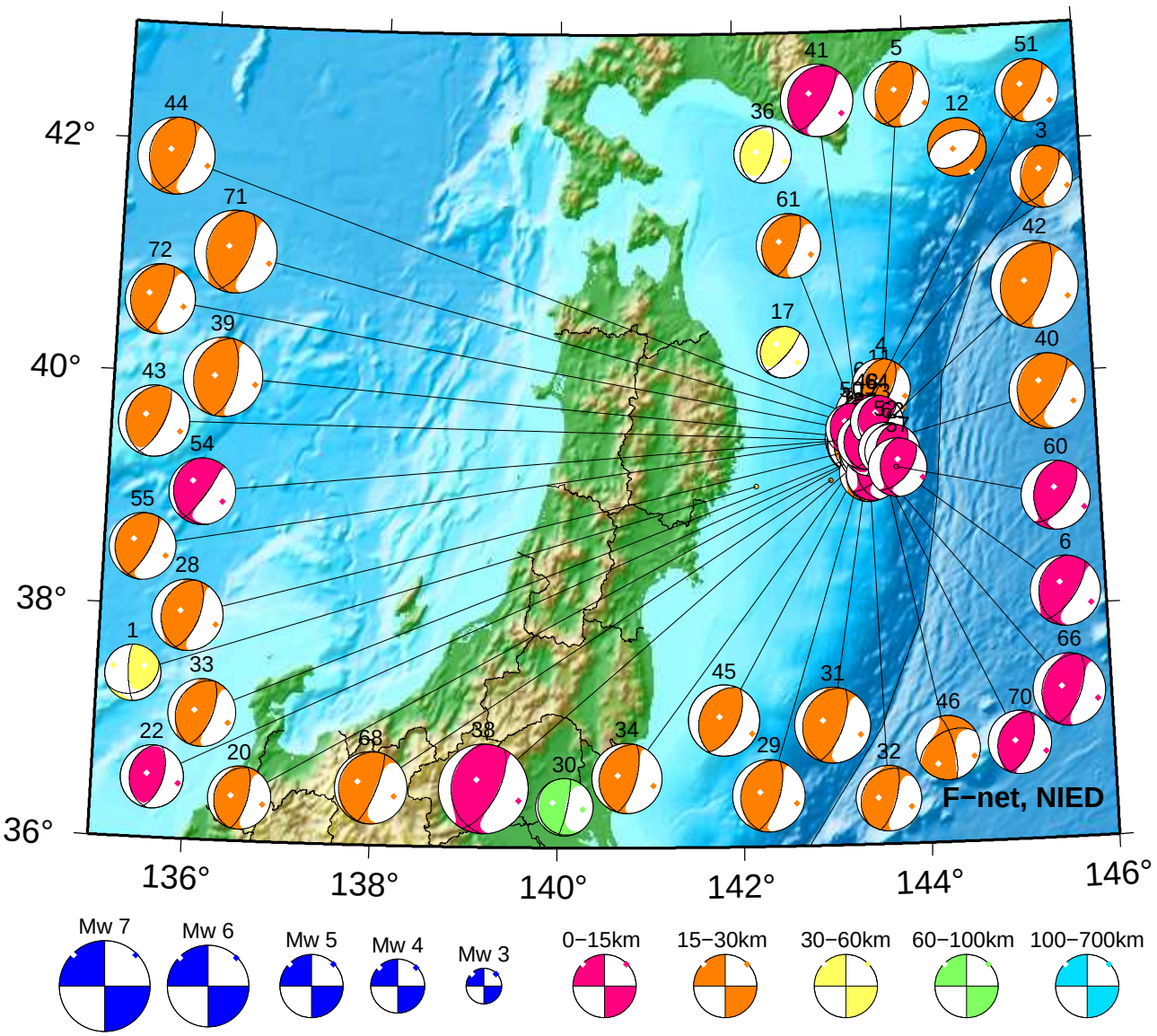
※三陸沖付近の震源域の活動については、メカニズム解を震源域の外に引き出していない。

1. 11/01 23:44 Mw4.2 H_50km VR87.2
3. 11/02 18:57 Mw4.6 H_17km VR82.7
4. 11/02 19:03 Mw4.3 H_17km VR74.2
5. 11/03 19:17 Mw4.8 H_20km VR79.7
6. 11/04 04:16 Mw5.1 H_14km VR83.7
7. 11/05 06:06 Mw4.0 H_17km VR83.6
11. 11/06 13:04 Mw4.0 H_17km VR75.6
12. 11/06 23:29 Mw4.3 H_20km VR62.1
17. 11/07 20:42 Mw3.8 H_38km VR82.7
18. 11/08 01:52 Mw3.8 H_47km VR52.0
19. 11/08 05:53 Mw4.1 H_17km VR80.3
20. 11/08 10:13 Mw4.6 H_17km VR85.7
21. 11/08 10:18 Mw3.9 H_17km VR67.3
22. 11/08 11:36 Mw4.6 H_14km VR59.0
23. 11/08 16:56 Mw4.4 H_68km VR77.2
24. 11/08 17:13 Mw4.2 H_17km VR82.5
25. 11/08 19:54 Mw4.2 H_17km VR85.8
26. 11/08 22:36 Mw3.6 H_14km VR71.0
27. 11/09 02:46 Mw3.7 H_17km VR82.3
28. 11/09 05:29 Mw5.2 H_17km VR78.8
29. 11/09 06:04 Mw5.3 H_17km VR80.1
31. 11/09 07:15 Mw5.5 H_17km VR79.6
32. 11/09 07:27 Mw4.8 H_17km VR74.0
33. 11/09 07:33 Mw5.0 H_17km VR76.9
34. 11/09 09:17 Mw5.1 H_17km VR79.6
35. 11/09 11:32 Mw4.3 H_17km VR76.0
36. 11/09 13:16 Mw4.2 H_56km VR76.1
37. 11/09 16:36 Mw4.6 H_14km VR82.6
38. 11/09 17:03 Mw6.5 H_14km VR78.0
39. 11/09 17:14 Mw5.8 H_17km VR76.4
40. 11/09 17:34 Mw5.5 H_17km VR75.2
41. 11/09 17:49 Mw5.3 H_14km VR68.5
42. 11/09 17:54 Mw6.3 H_17km VR84.4
43. 11/09 18:10 Mw5.2 H_17km VR57.1
44. 11/09 18:28 Mw5.6 H_17km VR76.7
45. 11/09 18:52 Mw5.2 H_20km VR60.1
46. 11/09 20:11 Mw4.7 H_17km VR67.0
47. 11/09 21:15 Mw4.3 H_17km VR70.2
48. 11/09 22:14 Mw3.9 H_14km VR55.2
49. 11/09 22:50 Mw4.0 H_17km VR83.8
50. 11/09 23:16 Mw3.8 H_14km VR79.0
51. 11/09 23:41 Mw4.6 H_17km VR83.2

52. 11/10 00:23 Mw4.0 H_11km VR70.5
53. 11/10 00:30 Mw3.9 H_14km VR87.0
54. 11/10 00:44 Mw4.9 H_14km VR91.3
55. 11/10 00:46 Mw4.9 H_17km VR88.5
56. 11/10 00:58 Mw4.2 H_20km VR61.6
57. 11/10 01:42 Mw4.3 H__8km VR83.5
58. 11/10 01:46 Mw3.9 H_14km VR70.0
59. 11/10 03:28 Mw4.0 H_17km VR74.6
60. 11/10 07:04 Mw5.0 H__8km VR76.2
61. 11/10 07:41 Mw4.7 H_17km VR85.6
62. 11/10 07:45 Mw4.0 H_11km VR60.7
63. 11/10 08:41 Mw3.9 H_14km VR81.4
64. 11/10 08:48 Mw3.9 H_14km VR70.2
65. 11/10 09:40 Mw4.4 H_17km VR86.9
66. 11/10 10:20 Mw5.3 H_11km VR77.1
67. 11/10 10:55 Mw4.4 H_17km VR78.6
68. 11/10 12:00 Mw5.3 H_23km VR89.5
70. 11/10 15:18 Mw4.6 H_11km VR84.1
71. 11/10 16:23 Mw6.0 H_17km VR78.4
72. 11/10 18:59 Mw5.1 H_17km VR85.2
73. 11/10 22:05 Mw3.9 H_14km VR70.0
74. 11/10 23:55 Mw3.7 H_17km VR55.0
75. 11/11 05:44 Mw4.2 H_11km VR86.2
76. 11/11 06:56 Mw3.8 H_14km VR62.7
77. 11/11 21:03 Mw4.3 H_14km VR91.6
80. 11/12 08:48 Mw3.8 H_14km VR81.8
81. 11/12 09:29 Mw5.4 H_17km VR82.0
82. 11/12 12:57 Mw4.9 H_11km VR85.2
85. 11/13 03:03 Mw3.9 H_11km VR91.3
86. 11/13 04:08 Mw4.2 H_17km VR86.0
89. 11/13 16:22 Mw4.1 H_14km VR82.1
90. 11/13 16:57 Mw4.1 H_11km VR85.0
91. 11/14 04:58 Mw5.2 H_14km VR76.8
92. 11/14 06:23 Mw3.7 H_38km VR52.8
93. 11/14 08:05 Mw3.7 H_86km VR64.7
99. 11/16 03:06 Mw4.5 H_17km VR89.8
101. 11/16 07:26 Mw3.9 H_29km VR84.6
102. 11/16 09:09 Mw3.9 H_14km VR88.2
104. 11/16 22:19 Mw4.2 H_17km VR85.5
105. 11/18 04:06 Mw5.4 H_14km VR84.2
106. 11/18 08:46 Mw3.8 H_53km VR69.2
107. 11/18 11:05 Mw4.3 H_29km VR87.9
108. 11/18 17:21 Mw4.6 H_50km VR87.7
109. 11/19 11:23 Mw4.6 H_14km VR76.9
112. 11/20 03:47 Mw3.5 H_17km VR74.2
114. 11/20 18:08 Mw3.8 H_17km VR85.5
116. 11/21 12:17 Mw4.1 H_83km VR68.2
118. 11/21 13:21 Mw3.9 H_32km VR74.5
119. 11/21 21:22 Mw5.5 H_14km VR85.4
120. 11/22 16:22 Mw3.8 H_59km VR80.2
123. 11/24 01:16 Mw4.0 H_14km VR84.9
124. 11/24 06:25 Mw3.7 H__5km VR77.5
129. 11/25 20:43 Mw3.6 H_32km VR70.3
134. 11/26 03:28 Mw3.5 H__5km VR73.3
139. 11/27 01:43 Mw4.6 H_74km VR85.6
140. 11/28 05:34 Mw4.1 H__8km VR76.4
141. 11/28 07:03 Mw3.8 H_17km VR77.9
143. 11/30 06:46 Mw4.2 H_14km VR74.5

Tohoku

Nov 01,2025−Nov 10,2025(JST)

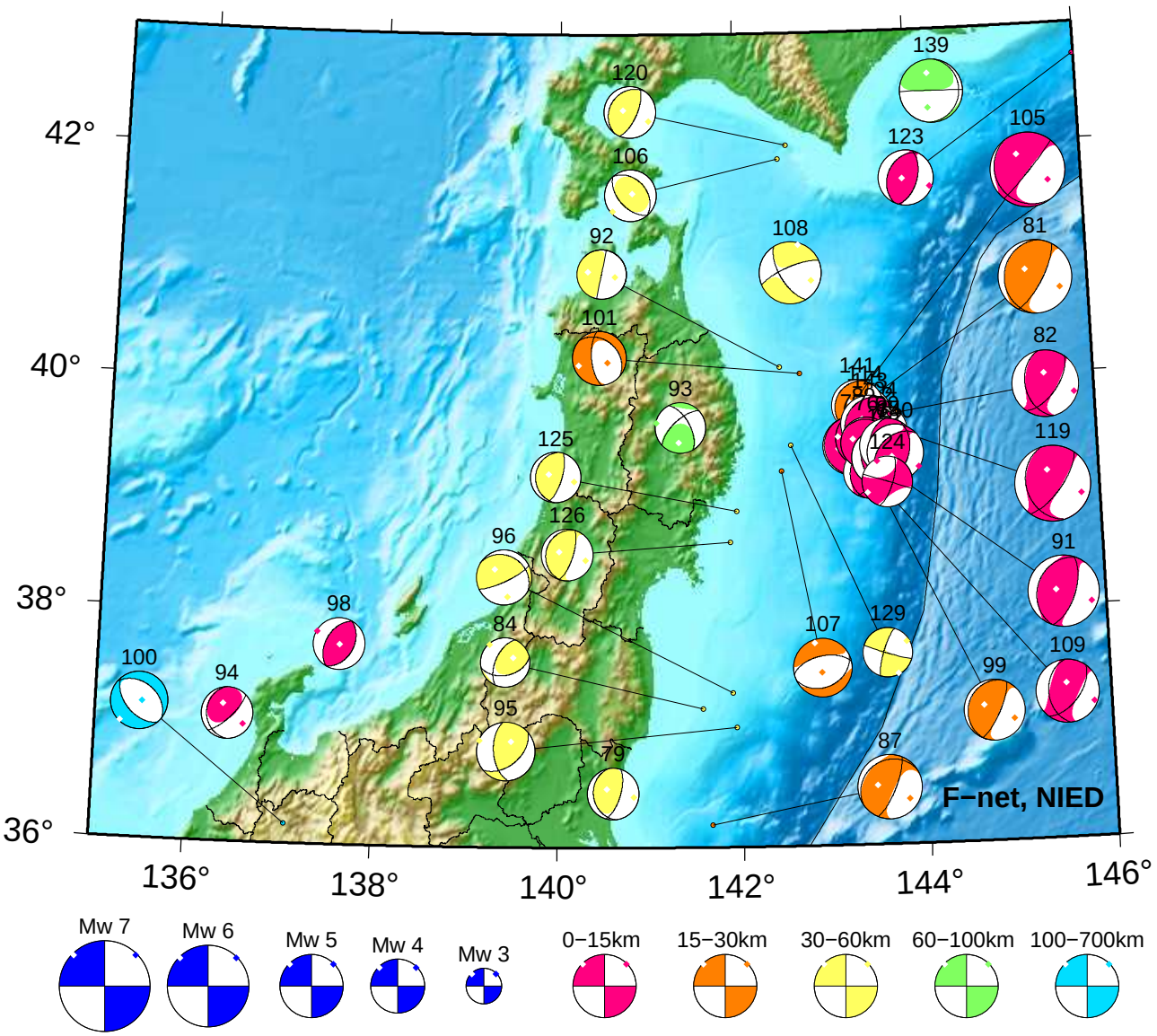


※三陸沖付近の震源域の活動については、Mw4.5未満のメカニズム解を震源域の外に引き出していない。

1. 11/01 23:44 Mw4.2 H_50km VR87.2
3. 11/02 18:57 Mw4.6 H_17km VR82.7
4. 11/02 19:03 Mw4.3 H_17km VR74.2
5. 11/03 19:17 Mw4.8 H_20km VR79.7
6. 11/04 04:16 Mw5.1 H_14km VR83.7
7. 11/05 06:06 Mw4.0 H_17km VR83.6
11. 11/06 13:04 Mw4.0 H_17km VR75.6
12. 11/06 23:29 Mw4.3 H_20km VR62.1
17. 11/07 20:42 Mw3.8 H_38km VR82.7
19. 11/08 05:53 Mw4.1 H_17km VR80.3
20. 11/08 10:13 Mw4.6 H_17km VR85.7
21. 11/08 10:18 Mw3.9 H_17km VR67.3
22. 11/08 11:36 Mw4.6 H_14km VR59.0
24. 11/08 17:13 Mw4.2 H_17km VR82.5
25. 11/08 19:54 Mw4.2 H_17km VR85.8
26. 11/08 22:36 Mw3.6 H_14km VR71.0
27. 11/09 02:46 Mw3.7 H_17km VR82.3
28. 11/09 05:29 Mw5.2 H_17km VR78.8
29. 11/09 06:04 Mw5.3 H_17km VR80.1
30. 11/09 06:24 Mw4.2 H_74km VR81.0
31. 11/09 07:15 Mw5.5 H_17km VR79.6
32. 11/09 07:27 Mw4.8 H_17km VR74.0
33. 11/09 07:33 Mw5.0 H_17km VR76.9
34. 11/09 09:17 Mw5.1 H_17km VR79.6
35. 11/09 11:32 Mw4.3 H_17km VR76.0
36. 11/09 13:16 Mw4.2 H_56km VR76.1
37. 11/09 16:36 Mw4.0 H_14km VR82.6
38. 11/09 17:03 Mw6.5 H_14km VR78.0
39. 11/09 17:14 Mw5.8 H_17km VR76.4
40. 11/09 17:34 Mw5.5 H_17km VR75.2
41. 11/09 17:49 Mw5.3 H_14km VR68.5
42. 11/09 17:54 Mw6.3 H_17km VR84.4
43. 11/09 18:10 Mw5.2 H_17km VR57.1
44. 11/09 18:28 Mw5.6 H_17km VR76.7
45. 11/09 18:52 Mw5.2 H_20km VR60.1
46. 11/09 20:11 Mw4.7 H_17km VR67.0
47. 11/09 21:15 Mw4.3 H_17km VR70.2
48. 11/09 22:14 Mw3.9 H_14km VR55.2
49. 11/09 22:50 Mw4.0 H_17km VR83.8
50. 11/09 23:16 Mw3.8 H_14km VR79.0
51. 11/09 23:41 Mw4.6 H_17km VR83.2
52. 11/10 00:23 Mw4.0 H_11km VR70.5
53. 11/10 00:30 Mw3.9 H_14km VR87.0
54. 11/10 00:44 Mw4.9 H_14km VR91.3
55. 11/10 00:46 Mw4.9 H_17km VR88.5
56. 11/10 00:58 Mw4.2 H_20km VR61.6
57. 11/10 01:42 Mw4.3 H__8km VR83.5
58. 11/10 01:46 Mw3.9 H_14km VR70.0
59. 11/10 03:28 Mw4.0 H_17km VR74.6
60. 11/10 07:04 Mw5.0 H__8km VR76.2
61. 11/10 07:41 Mw4.7 H_17km VR85.6
62. 11/10 07:45 Mw4.0 H_11km VR60.7
63. 11/10 08:41 Mw3.9 H_14km VR81.4
64. 11/10 08:48 Mw3.9 H_14km VR70.2
65. 11/10 09:40 Mw4.4 H_17km VR86.9
66. 11/10 10:20 Mw5.3 H_11km VR77.1
67. 11/10 10:55 Mw4.4 H_17km VR78.6
68. 11/10 12:00 Mw5.3 H_23km VR89.5
70. 11/10 15:18 Mw4.6 H_11km VR84.1
71. 11/10 16:23 Mw6.0 H_17km VR78.4
72. 11/10 18:59 Mw5.1 H_17km VR85.2
73. 11/10 22:05 Mw3.9 H_14km VR70.0
74. 11/10 23:55 Mw3.7 H_17km VR55.0

Tohoku

Nov 11,2025−Nov 30,2025(JST)

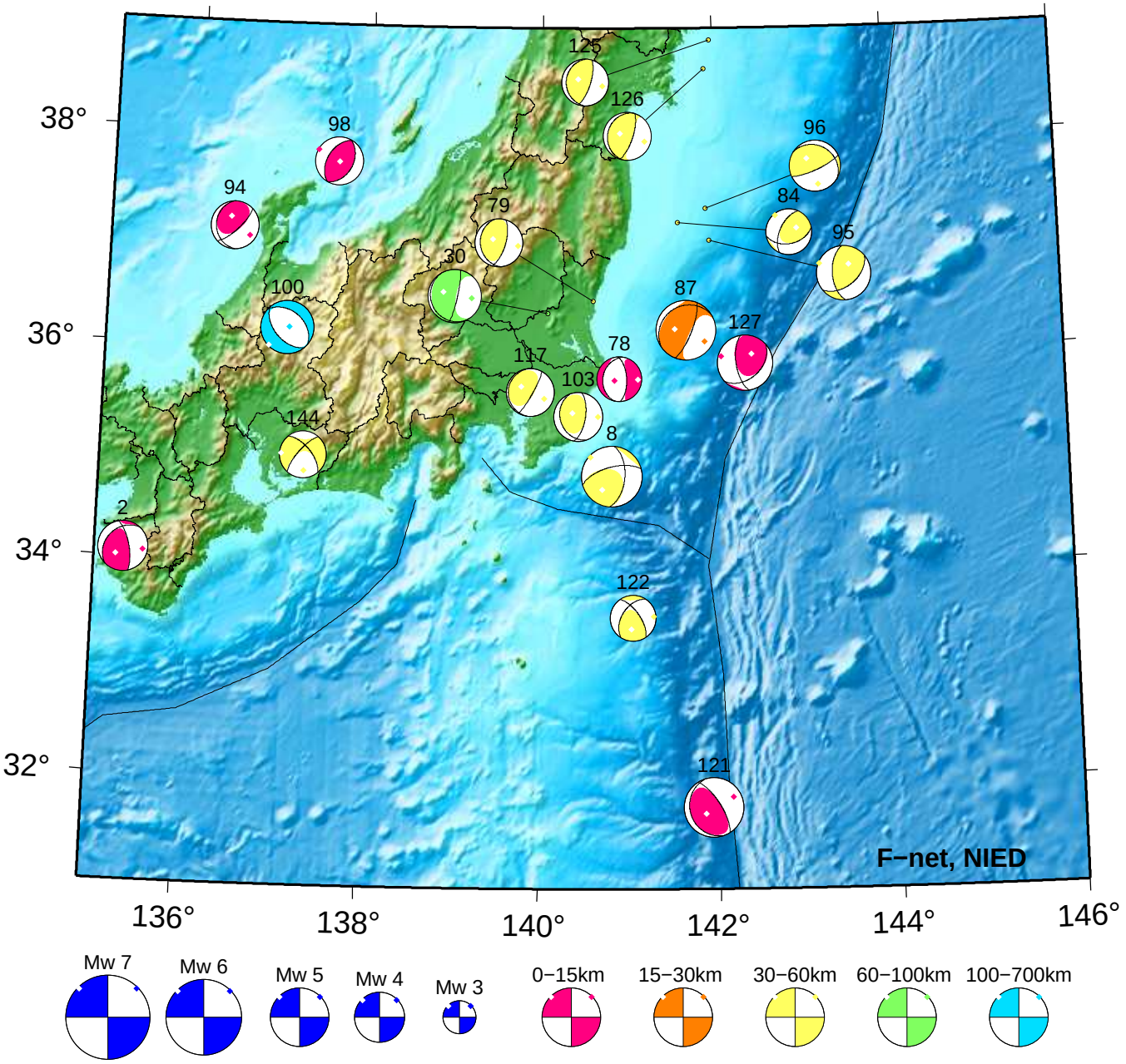


※三陸沖付近の震源域の活動については、Mw4.5未満のメカニズム解を震源域の外に引き出していない。

75. 11/11 05:44 Mw4.2 H_11km VR86.2
76. 11/11 06:56 Mw3.8 H_14km VR62.7
77. 11/11 21:03 Mw4.3 H_14km VR91.6
79. 11/12 06:50 Mw3.8 H_53km VR64.5
80. 11/12 08:48 Mw3.8 H_14km VR81.8
81. 11/12 09:29 Mw5.4 H_17km VR82.0
82. 11/12 12:57 Mw4.9 H_11km VR85.2
84. 11/13 02:55 Mw3.6 H_47km VR63.0
85. 11/13 03:03 Mw3.9 H_11km VR91.3
86. 11/13 04:08 Mw4.2 H_17km VR86.0
87. 11/13 09:54 Mw4.7 H_23km VR84.1
89. 11/13 16:22 Mw4.1 H_14km VR82.1
90. 11/13 16:57 Mw4.1 H_11km VR85.0
91. 11/14 04:58 Mw5.2 H_14km VR76.8
92. 11/14 06:23 Mw3.7 H_38km VR52.8
93. 11/14 08:05 Mw3.7 H_86km VR64.7
94. 11/14 11:26 Mw3.8 H__5km VR78.3
95. 11/15 00:01 Mw4.3 H_41km VR88.3
96. 11/15 02:34 Mw4.1 H_35km VR91.5
98. 11/15 22:03 Mw3.8 H__8km VR87.6
99. 11/16 03:06 Mw4.5 H_17km VR89.8
100. 11/16 03:50 Mw4.2 H270km VR91.4
101. 11/16 07:26 Mw3.9 H_29km VR84.6
102. 11/16 09:09 Mw3.9 H_14km VR88.2
104. 11/16 22:19 Mw4.2 H_17km VR85.5
105. 11/18 04:06 Mw5.4 H_14km VR84.2
106. 11/18 08:46 Mw3.8 H_53km VR69.2
107. 11/18 11:05 Mw4.3 H_29km VR87.9
108. 11/18 17:21 Mw4.6 H_50km VR87.7
109. 11/19 11:23 Mw4.6 H_14km VR76.9
112. 11/20 03:47 Mw3.5 H_17km VR74.2
114. 11/20 18:08 Mw3.8 H_17km VR85.5
119. 11/21 21:22 Mw5.5 H_14km VR85.4
120. 11/22 16:22 Mw3.8 H_59km VR80.2
123. 11/24 01:16 Mw4.0 H_14km VR84.9
124. 11/24 06:25 Mw3.7 H__5km VR77.5
125. 11/24 19:09 Mw3.7 H_44km VR69.0
126. 11/25 12:17 Mw3.8 H_50km VR83.2
129. 11/25 20:43 Mw3.6 H_32km VR70.3
139. 11/27 01:43 Mw4.6 H_74km VR85.6
140. 11/28 05:34 Mw4.1 H__8km VR76.4
141. 11/28 07:03 Mw3.8 H_17km VR77.9
143. 11/30 06:46 Mw4.2 H_14km VR74.5

Kanto−Chubu

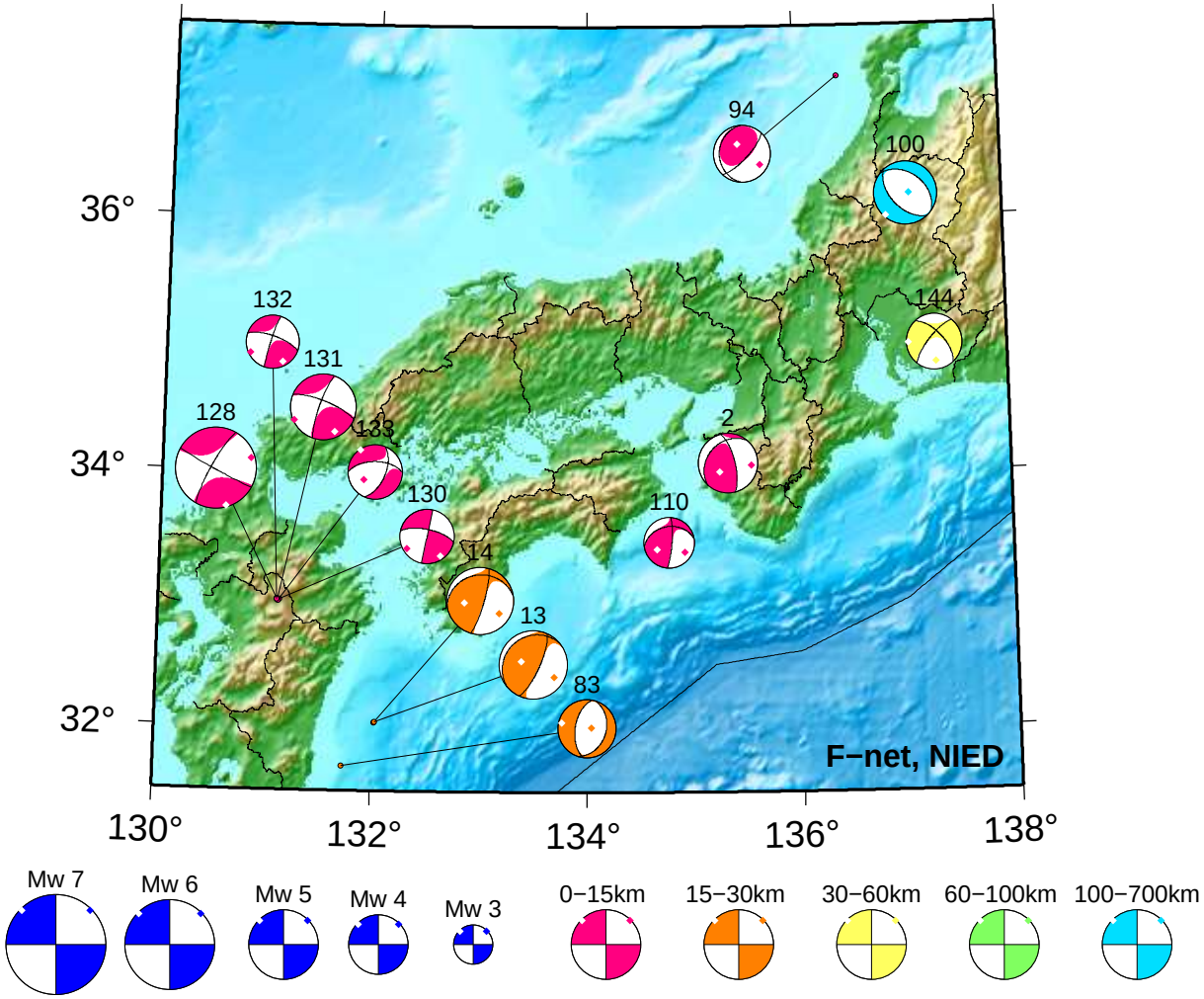
Nov 01,2025−Nov 30,2025(JST)



2. 11/02 07:30 Mw4.0 H__8km VR85.8
8. 11/05 07:17 Mw4.8 H_50km VR70.6
30. 11/09 06:24 Mw4.2 H_74km VR81.0
78. 11/12 06:15 Mw3.5 H__8km VR66.4
79. 11/12 06:50 Mw3.8 H_53km VR64.5
84. 11/13 02:55 Mw3.6 H_47km VR63.0
87. 11/13 09:54 Mw4.7 H_23km VR84.1
94. 11/14 11:26 Mw3.8 H__5km VR78.3
95. 11/15 00:01 Mw4.3 H_41km VR88.3
96. 11/15 02:34 Mw4.1 H_35km VR91.5
98. 11/15 22:03 Mw3.8 H__8km VR87.6
100. 11/16 03:50 Mw4.2 H270km VR91.4
103. 11/16 16:03 Mw3.8 H_53km VR89.4
117. 11/21 12:24 Mw3.8 H_38km VR79.9
121. 11/22 18:06 Mw4.7 H__5km VR57.5
122. 11/23 07:43 Mw3.6 H_47km VR66.8
125. 11/24 19:09 Mw3.7 H_44km VR69.0
126. 11/25 12:17 Mw3.8 H_50km VR83.2
127. 11/25 16:59 Mw4.4 H__5km VR66.0
144. 11/30 23:55 Mw3.7 H_35km VR83.7

Kinki−Chugoku−Shikoku

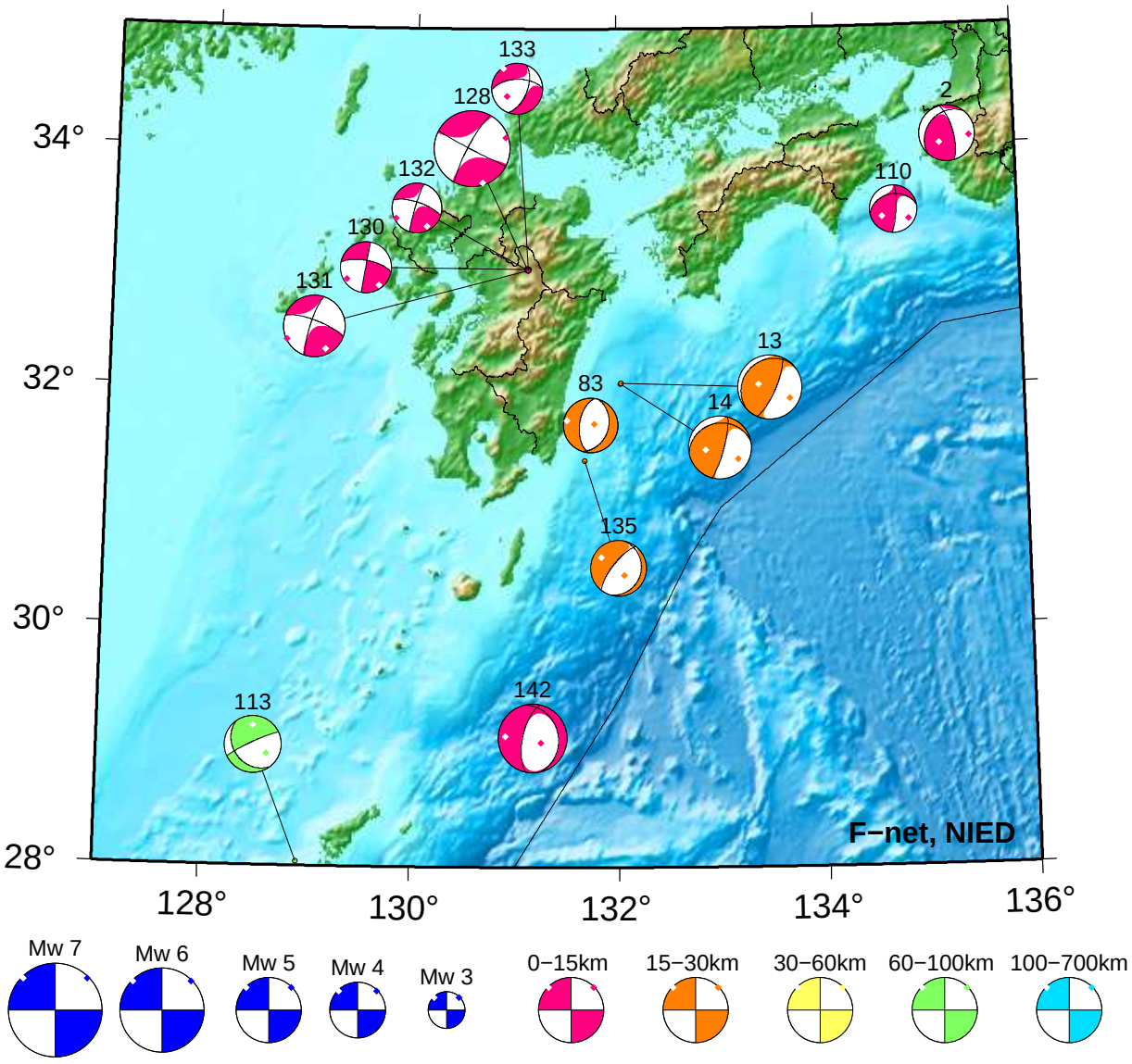
Nov 01,2025−Nov 30,2025(JST)



2. 11/02 07:30 Mw4.0 H__8km VR85.8
13. 11/07 01:23 Mw4.5 H_17km VR75.6
14. 11/07 04:25 Mw4.4 H_23km VR77.0
83. 11/12 19:49 Mw3.8 H_29km VR69.0
94. 11/14 11:26 Mw3.8 H__5km VR78.3
100. 11/16 03:50 Mw4.2 H270km VR91.4
110. 11/20 01:28 Mw3.3 H_11km VR61.2
128. 11/25 18:01 Mw5.3 H__5km VR93.7
130. 11/25 20:44 Mw3.6 H__5km VR75.9
131. 11/25 21:59 Mw4.4 H__5km VR94.1
132. 11/25 22:31 Mw3.5 H__5km VR58.3
133. 11/25 23:48 Mw3.6 H__5km VR70.4
144. 11/30 23:55 Mw3.7 H_35km VR83.7

Kyushu

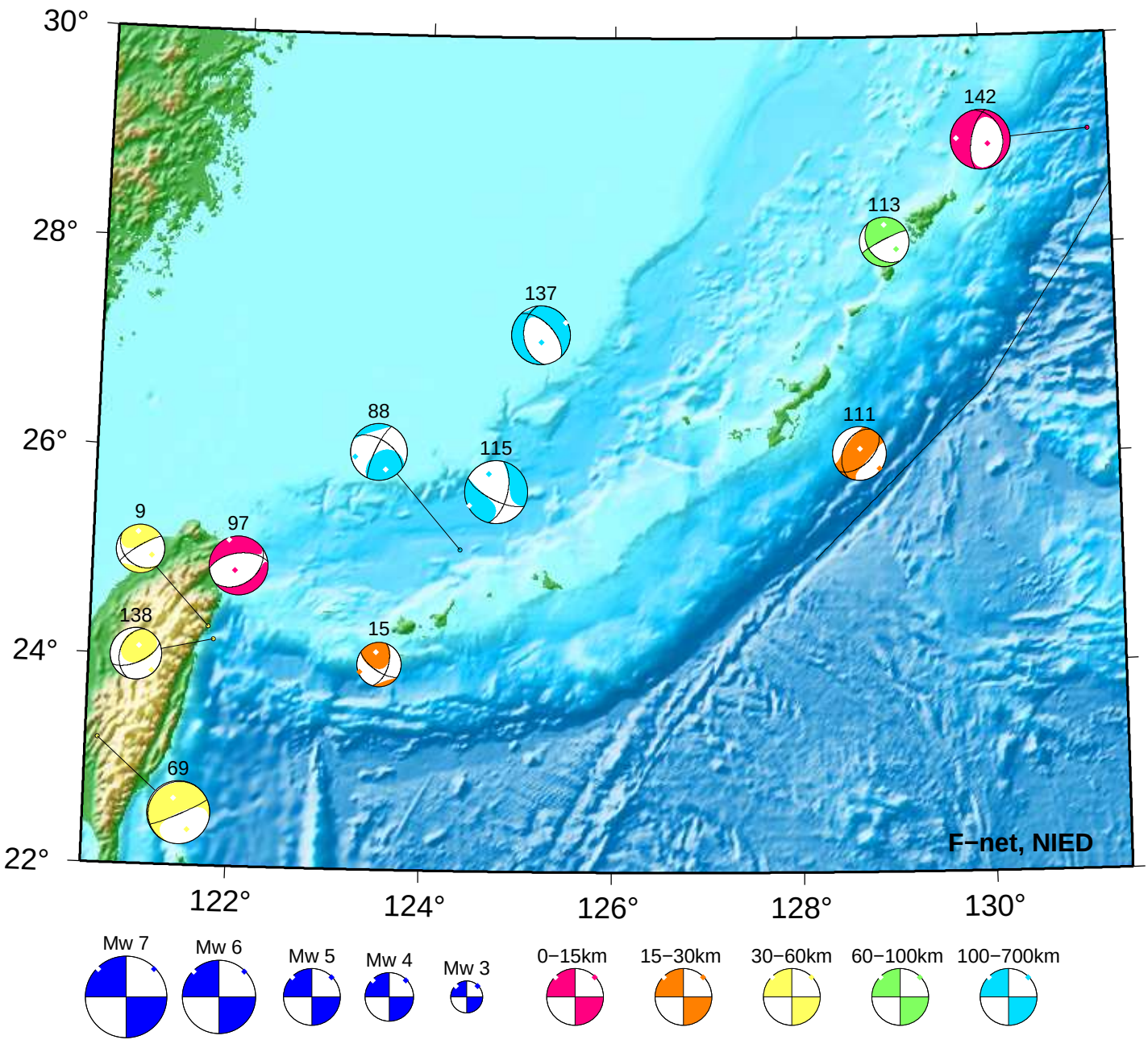
Nov 01,2025−Nov 30,2025(JST)



2. 11/02 07:30 Mw4.0 H__8km VR85.8
13. 11/07 01:23 Mw4.5 H_17km VR75.6
14. 11/07 04:25 Mw4.4 H_23km VR77.0
83. 11/12 19:49 Mw3.8 H_29km VR69.0
110. 11/20 01:28 Mw3.3 H_11km VR61.2
113. 11/20 05:33 Mw4.0 H_65km VR70.4
128. 11/25 18:01 Mw5.3 H__5km VR93.7
130. 11/25 20:44 Mw3.6 H__5km VR75.9
131. 11/25 21:59 Mw4.4 H__5km VR94.1
132. 11/25 22:31 Mw3.5 H__5km VR58.3
133. 11/25 23:48 Mw3.6 H__5km VR70.4
135. 11/26 05:56 Mw3.9 H_26km VR69.9
142. 11/29 07:40 Mw4.8 H__5km VR60.0

Okinawa

Nov 01,2025−Nov 30,2025(JST)



9. 11/05 14:28 Mw4.0 H_44km VR50.2
15. 11/07 08:36 Mw3.6 H_23km VR84.2
69. 11/10 14:00 Mw5.1 H_38km VR68.5
88. 11/13 12:24 Mw4.6 H104km VR87.9
97. 11/15 08:56 Mw4.8 H__5km VR92.3
111. 11/20 02:17 Mw4.3 H_23km VR67.1
113. 11/20 05:33 Mw4.0 H_65km VR70.4
115. 11/21 08:36 Mw5.1 H130km VR84.0
137. 11/26 20:55 Mw4.8 H260km VR73.7
138. 11/27 00:12 Mw4.2 H_41km VR75.1
142. 11/29 07:40 Mw4.8 H__5km VR60.0

紀伊半島・東海地域の深部低周波微動活動状況
（2025 年 11 月）

防災科研 NIED　MOWLAS

● 11 月 9 ～ 16 日頃に紀伊半島中部において，活発な微動活動.

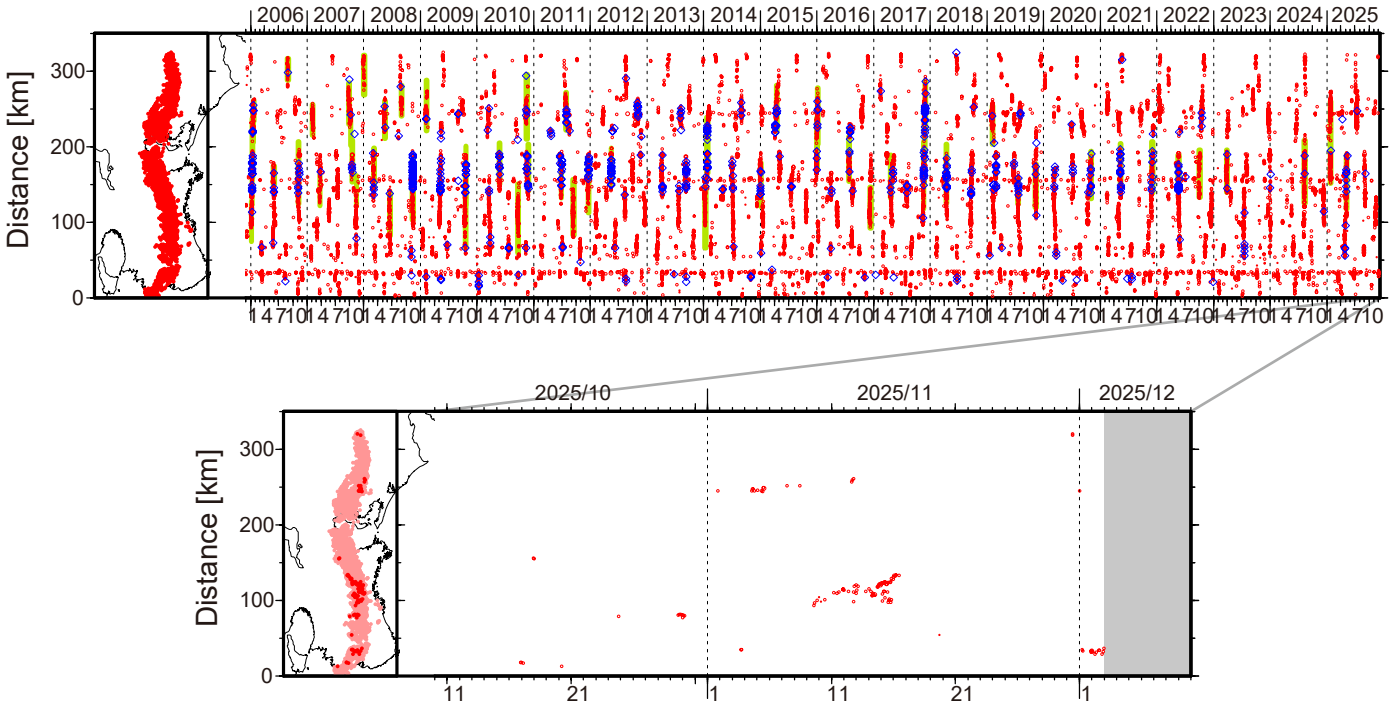


図 1．紀伊半島・東海地域における 2005 年 12 月～ 2025 年 12 月 2 日までの深部低周波微動の時空間分布（上図）．赤丸はエンベロープ相関・振幅ハイブリッド法 (Maeda and Obara, 2009) およびクラスタ処理 (Obara et al., 2010) によって 1 時間毎に自動処理された微動分布の重心である．青菱形は周期 20 秒に卓越する超低周波地震 (Ito et al., 2007) である．黄緑色の太線はこれまでに検出された短期的スロースリップイベント (SSE) を示す．下図は 2025 年 10 月を中心とした期間の拡大図である．11 月 9 ～ 16 日頃には奈良・三重県境付近から三重県中部において，活発な微動活動がみられた．この活動は，三重・奈良県境付近で開始しやや北東方向に活動域が移動したのち，15 日頃から北東・南西方向に活動域の拡大がみられた．11 月 4 ～ 5 日頃には愛知県中部において，11 月 12 日頃にはその活動域の東側の領域において，それぞれごく小規模な活動がみられた．12 月 1 日頃からは，和歌山県中部において活動が開始している．

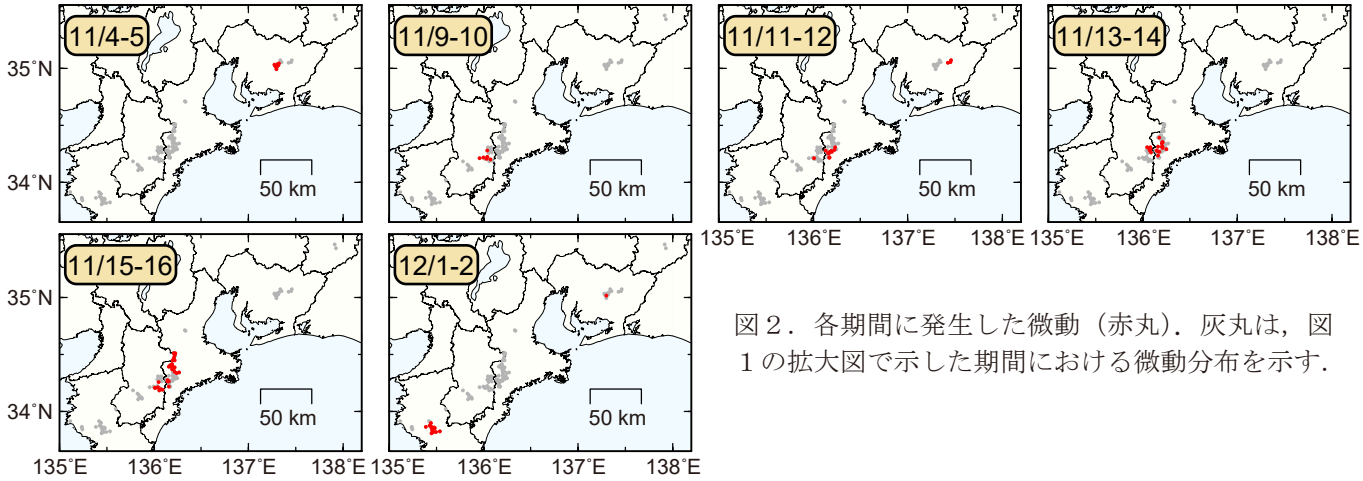


図 2．各期間に発生した微動（赤丸）．灰丸は，図 1 の拡大図で示した期間における微動分布を示す.

防災科学技術研究所資料

四国の深部低周波微動活動状況　（2025 年 11 月）

防災科研 NIED　MOWLAS

● 11 月 18 ～ 23 日頃に四国中部において，やや活発な微動活動.

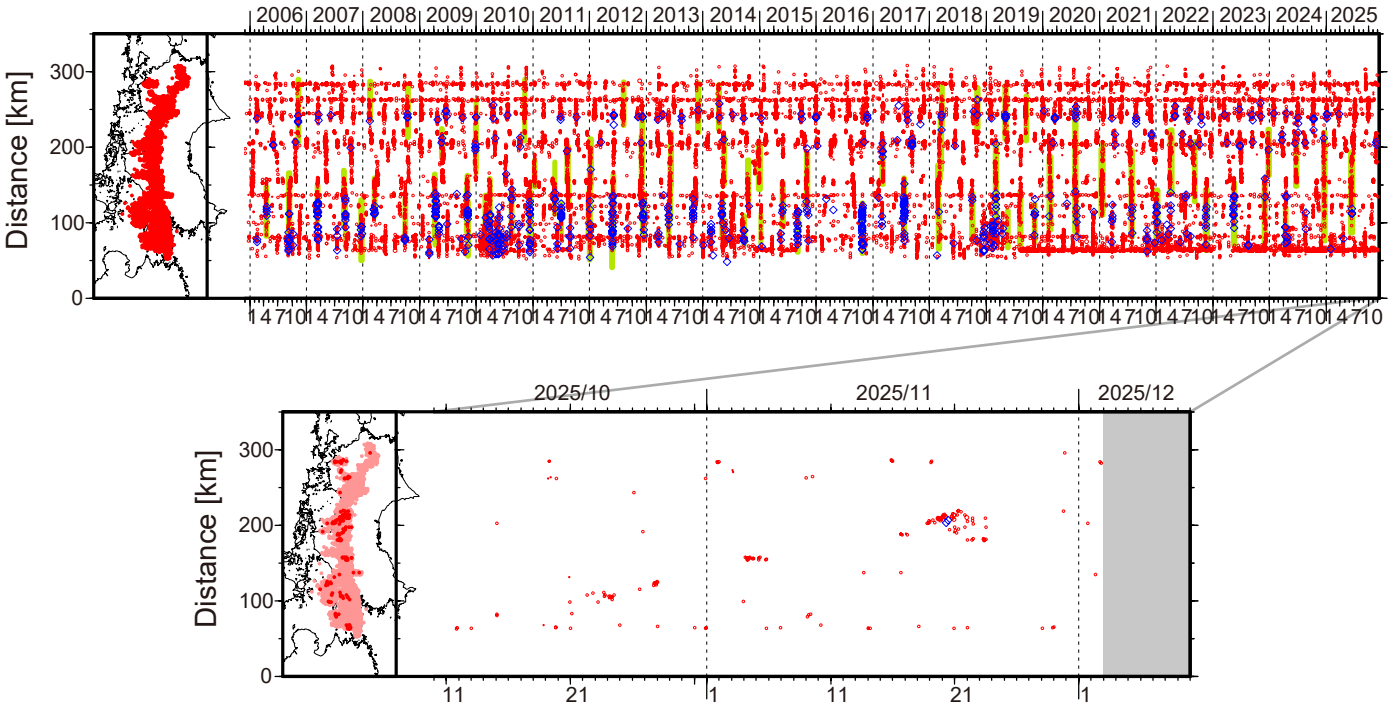


図 1．四国における 2005 年 12 月～ 2025 年 12 月 2 日までの深部低周波微動の時空間分布（上図）．赤丸はエンベロープ相関･振幅ハイブリッド法 (Maeda and Obara, 2009) およびクラスタ処理 (Obara et al., 2010) によって 1 時間毎に自動処理された微動分布の重心である．青菱形は周期 20 秒に卓越する超低周波地震 (Ito et al., 2007) である．黄緑色太線は，これまでに検出された短期的スロースリップイベント (SSE) を示す．下図は 2025 年 11 月を中心とした期間の拡大図である．11 月 18 ～ 23 日頃には，愛媛県東部から中部においてやや活発な微動活動がみられた．この活動は愛媛県東部で開始した後，南東方向に活動域が拡大した後，20 日頃から東西両方向への活動域の拡大がみられた．11 月 4 ～ 5 日頃には愛媛県中部において，小規模な活動がみられた．11 月 1 日頃および 15 日頃には香川県付近において，11 月 16 ～ 17 日頃には愛媛県中部において，それぞれごく小規模な活動がみられた．

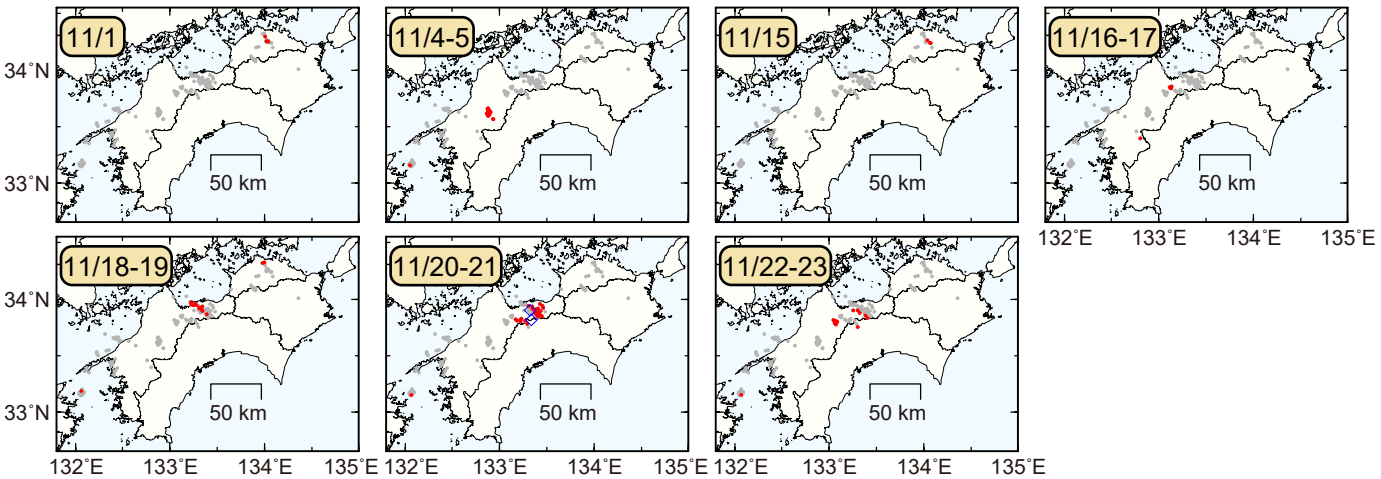


図 2．各期間に発生した微動（赤丸）および深部超低周波地震（青菱形）の分布．
灰丸は，図 1 の拡大図で示した期間における微動分布を示す．

防災科学技術研究所資料

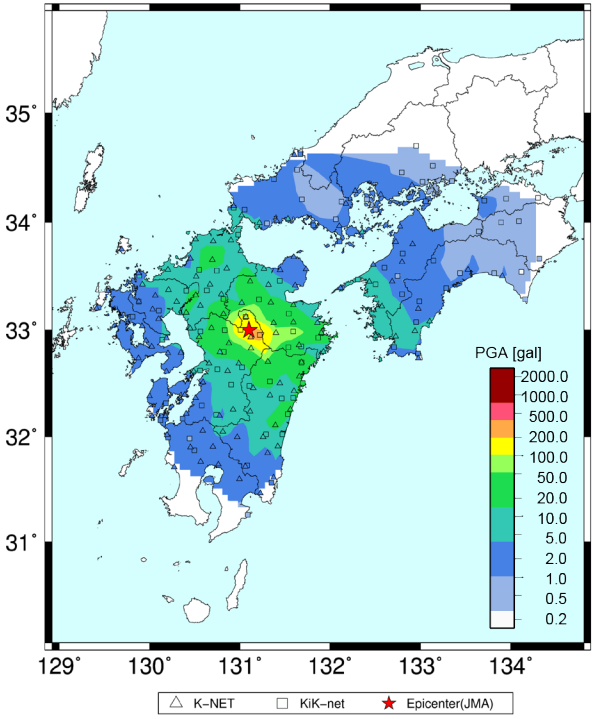
2025年11月25日熊本県阿蘇地方の地震による強震動

防災科学技術研究所

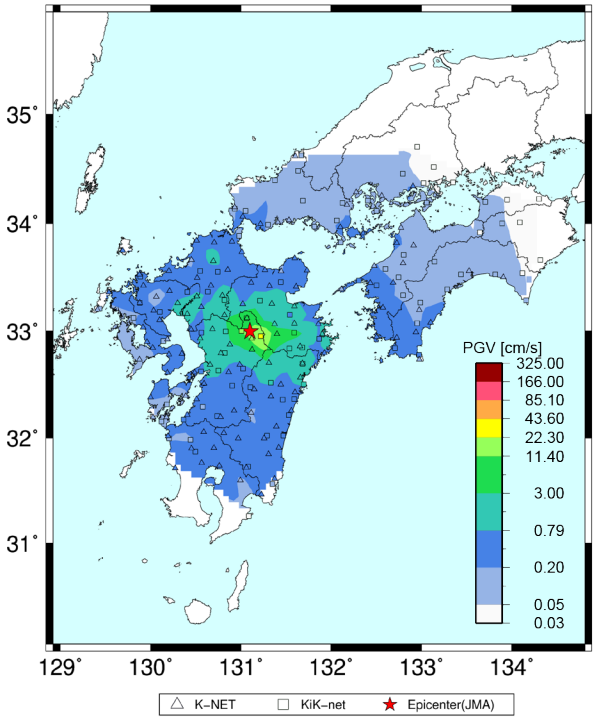
2025年11月25日18時1分, 深さ9 km, M5.8（気象庁による）

K-NET・KiK-netで記録された最大の地表最大加速度は
KiK-net波野（KMMH05）観測点（熊本県阿蘇市）での
284 gal（三成分合成値）

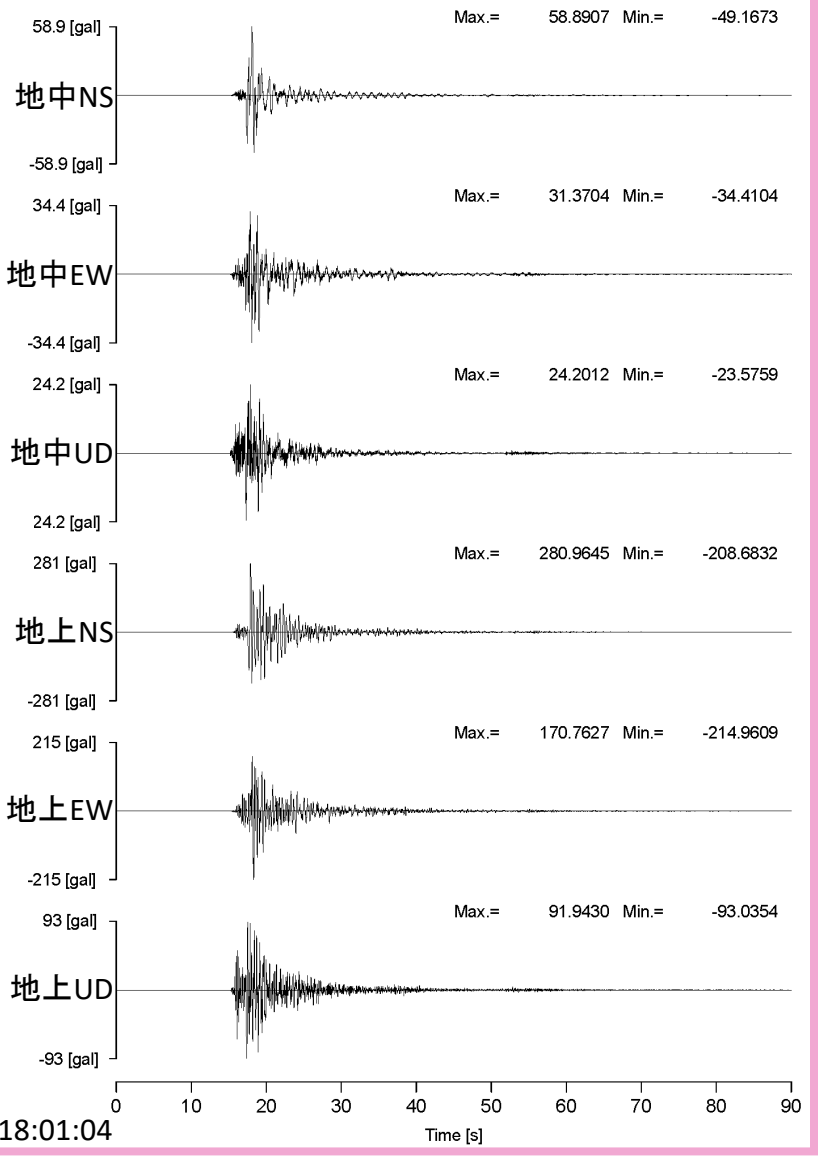
地表最大加速度



地表最大速度



KiK-net波野での加速度波形



2025/11/25 18:01:04

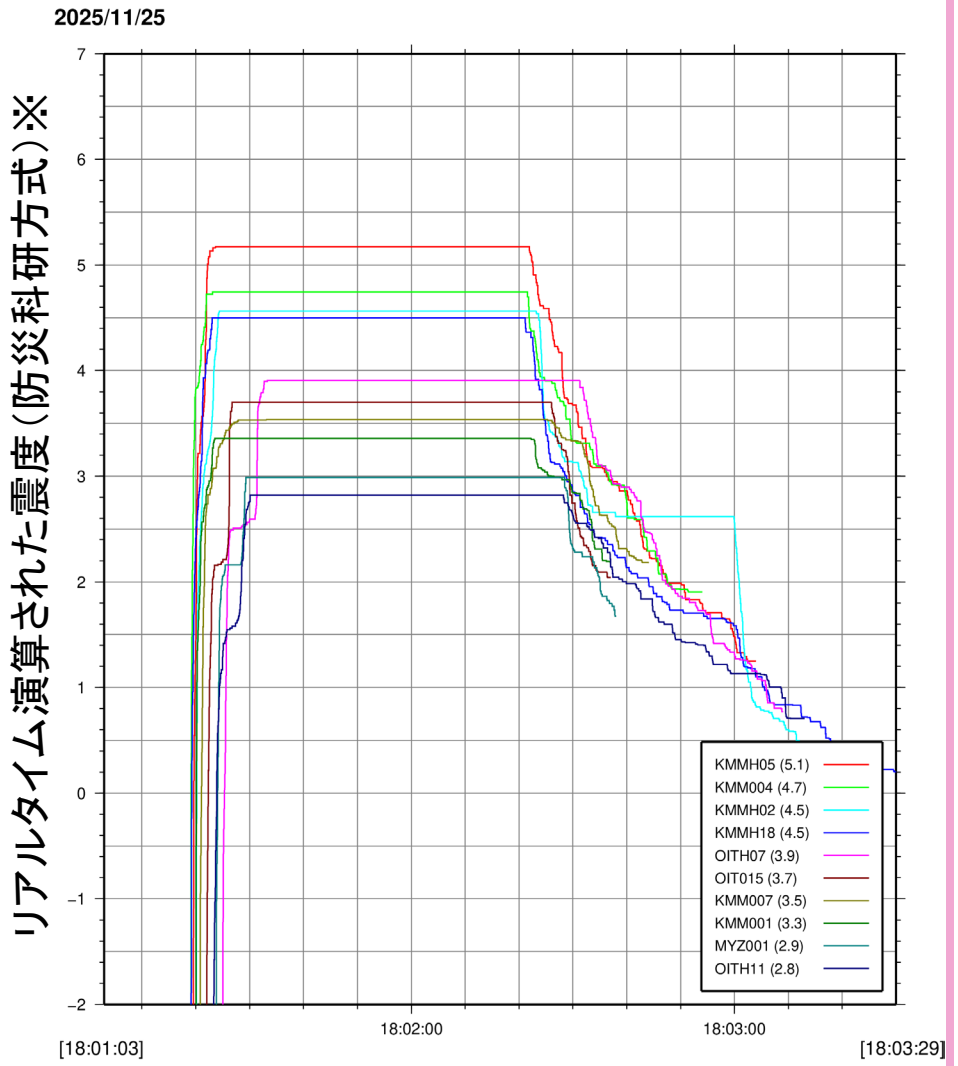
2025年11月25日熊本県阿蘇地方の地震による強震動

最大加速度上位10観測点

	観測点名	最大加速度	計測震度
1	KiK-net波野(KMMH05)	284 gal	5.1
2	K-NET一の宮(KMM004)	248 gal	4.7
3	KiK-net小国(KMMH02)	227 gal	4.5
4	KiK-net阿蘇2(KMMH18)	180 gal	4.5
5	KiK-net三重(OITH07)	85 gal	3.8
6	K-NET竹田(OIT015)	84 gal	3.7
7	K-NET小国(KMM001)	63 gal	3.3
8	K-NET高森(KMM007)	62 gal	3.5
9	K-NET高千穂(MYZ001)	51 gal	2.9
10	KiK-net九重(OITH11)	37 gal	2.8

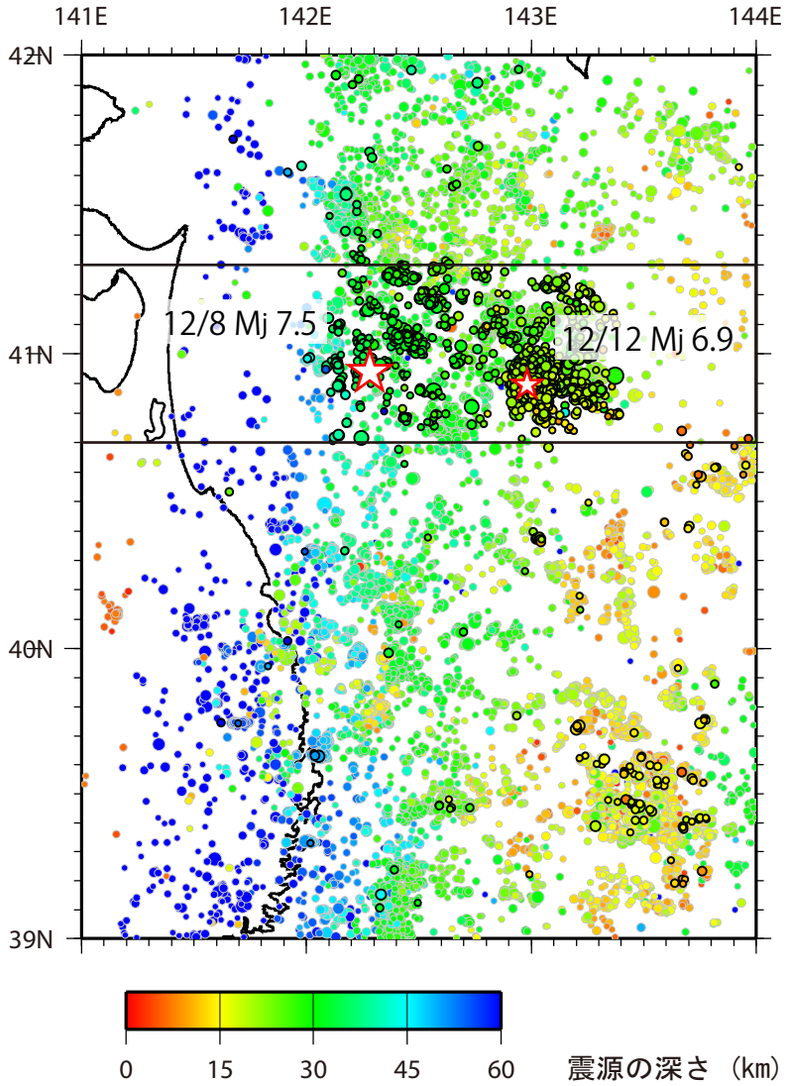
計測震度は気象庁告示に基づきトリガ波形全体より計算

震度の時間変化



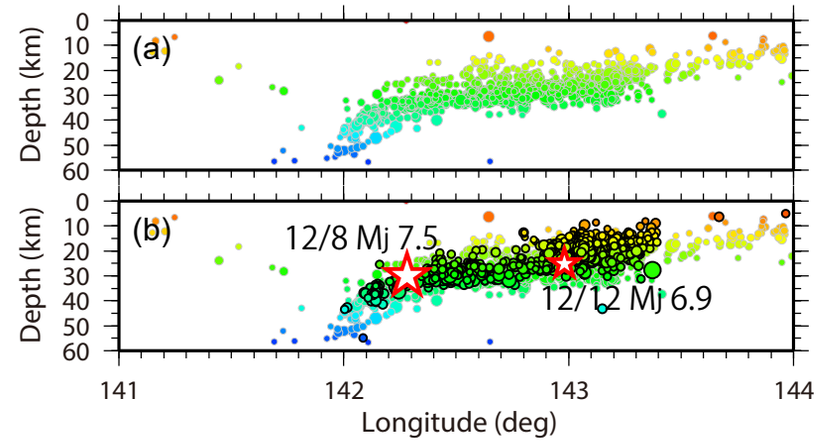
※功刀・他(2013)による

2025年12月8日青森県東方沖の地震　観測点補正値による震源再決定

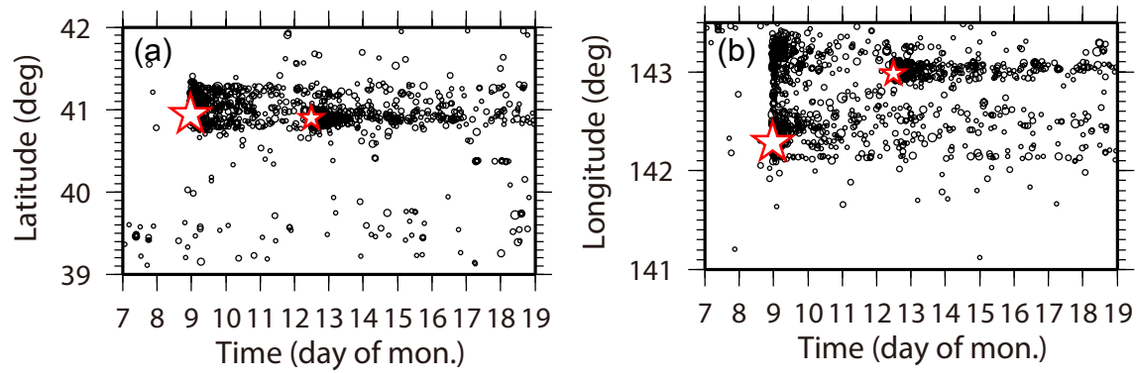


第１図．観測点補正値による再決定震源の分布．2017年１月１日から2025年12月18日までの期間について，12月１日以降の地震を黒色アウトラインで，それより前の地震を灰色アウトラインの丸印でそれぞれ示す．シンボルの色（除くMj 7.5及び6.9の地震）は地震の深さを表す．赤星印でMj 7.5及び6.9の地震の震央を併せて示す．

- ●観測点補正値を用いて2017年以降の地震の震源を再決定
- ●CMT解の深さに震源深さを固定した震源決定時の走時残差より観測点補正値を評価［浅野・他（2021JpGU）］
- ●海溝側はばらつくも，30km以深の余震はおおむね面状
- ●本震の海溝側に余震が比較的少ない領域



第２図．再決定震源の深さ分布．第１図矩形領域内の地震の深さ分布を示す．(a) 2017年から2025年11月，(b) 2017年から2025年12月の期間内に発生した地震．シンボルは第１図に同じ．

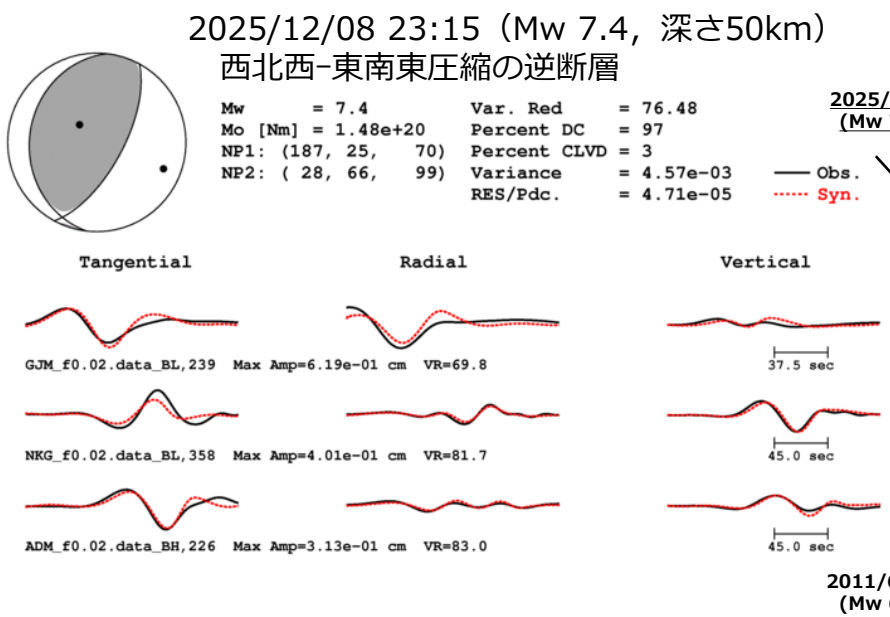


第３図．再決定震源の時空間分布．2025年12月７日から18日の期間内における（a）緯度－時間分布，及び（b）経度－時間分布．時空間上の地震を黒丸印で示す．赤星印は第１図に同じ．

謝辞
本解析には，気象庁，北海道大学，弘前大学，東北大学，および地震予知総合研究振興会の記録も使用させていただいた．

防災科学技術研究所資料

2025年12月8日青森県東方沖の地震（F-netによるメカニズム解）



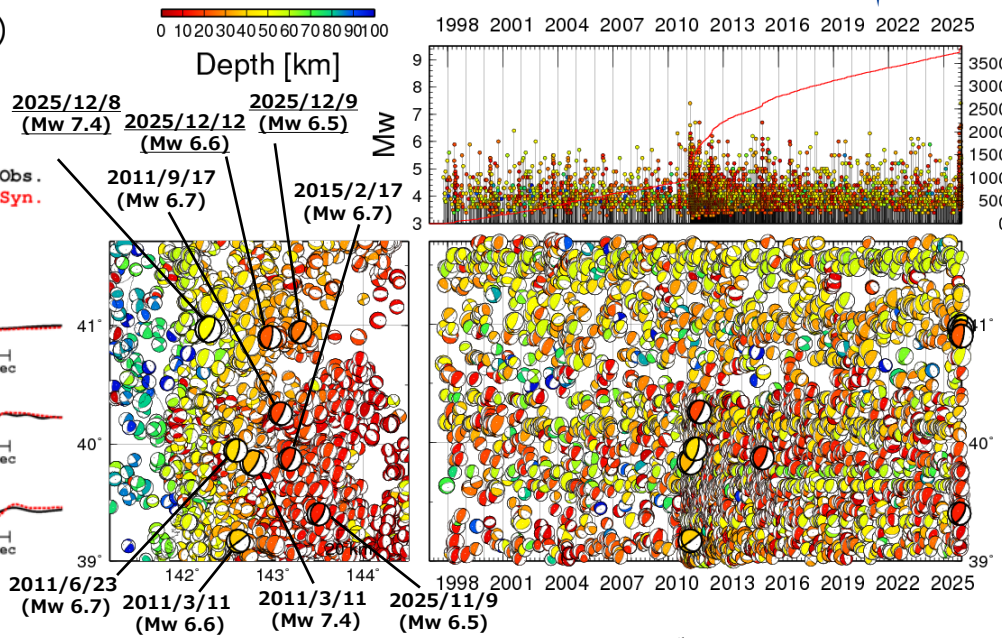


図1　F-netモーメントテンソル解カタログによる周辺の地震活動（深さ100km以浅，2025/12/23まで，12/22以降は自動解）．Mw6.5以上の地震の発生日を合わせて示す．

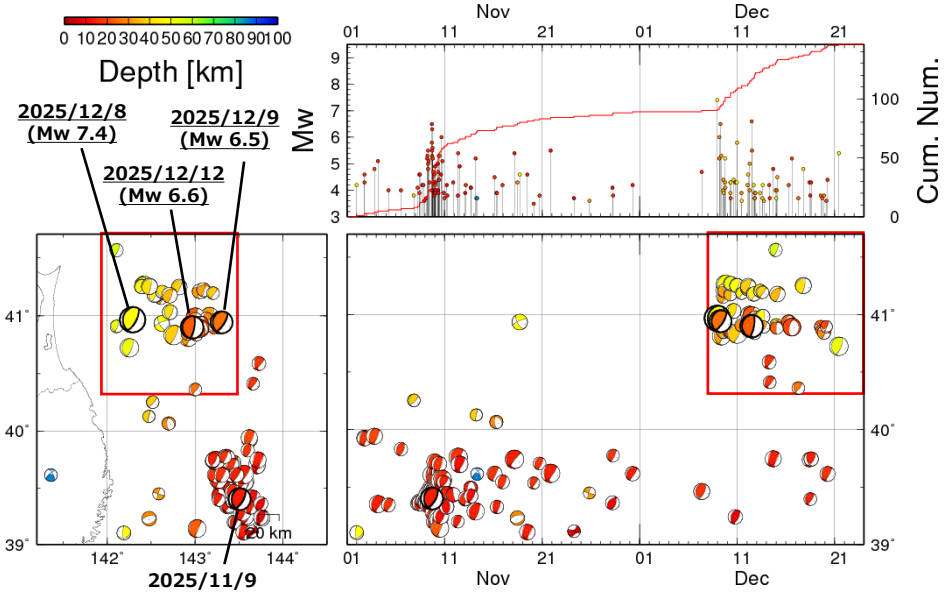


図2　図1のうち2025/11/1以降の地震（12/22以降は自動解）．

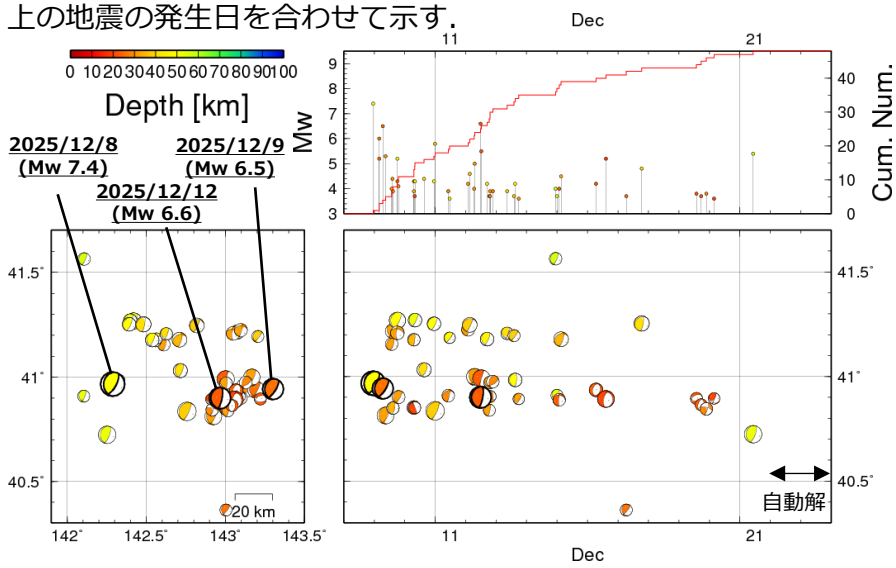


図3　図2のうち2025/12/8以降の赤枠の範囲内の地震．（12/22以降は自動解）

2025年12月8日青森県東方沖の地震の震源過程（暫定）

防災科学技術研究所

2025年12月8日23時15分頃に青森県東方沖で発生した地震（Mj 7.5; 気象庁）について、強震波形記録を用いた震源インバージョン解析を行った。

- 記録：K-NET・KiK-net地中観測点の19観測点における速度波形三成分のS波部分（0.05–0.5 Hz）
- 解析手法：マルチタイムウィンドウ線形波形インバージョン
  （小断層4 km×4 km、1.6秒幅のタイムウィンドウを0.8秒ずらして9個並べる）
- 断層面設定：走向185°・傾斜25°（F-net解による）、大きさ60 km ×48 km、破壊開始点はHi-net震源位置
  ＊ここで設定した断層面は解析の都合上仮定したものであり、必ずしも実際の断層面を反映しているわけではないことに留意
- 推定結果：M_0=2.0×10^{20} Nm（M_w 7.5）、最大すべり量6.6m、Vftw 3.6 km/s
  主たる破壊は破壊開始点付近に集中し、南北に伝播した。

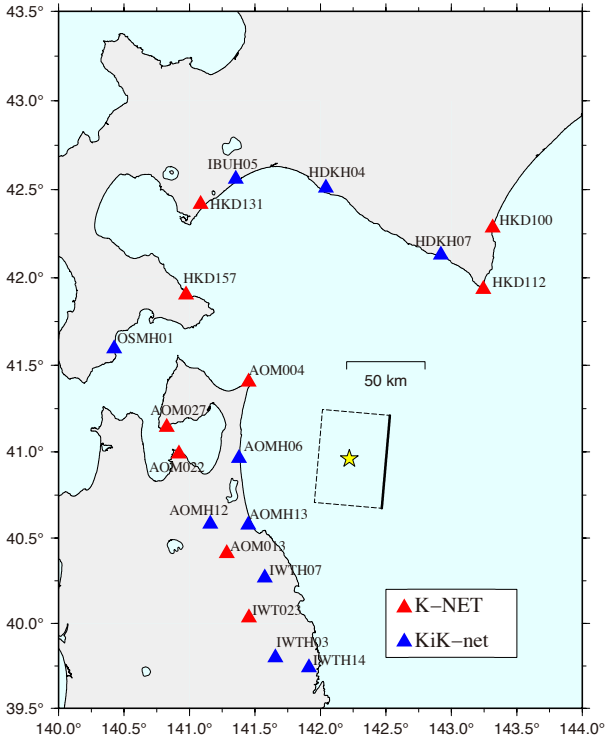
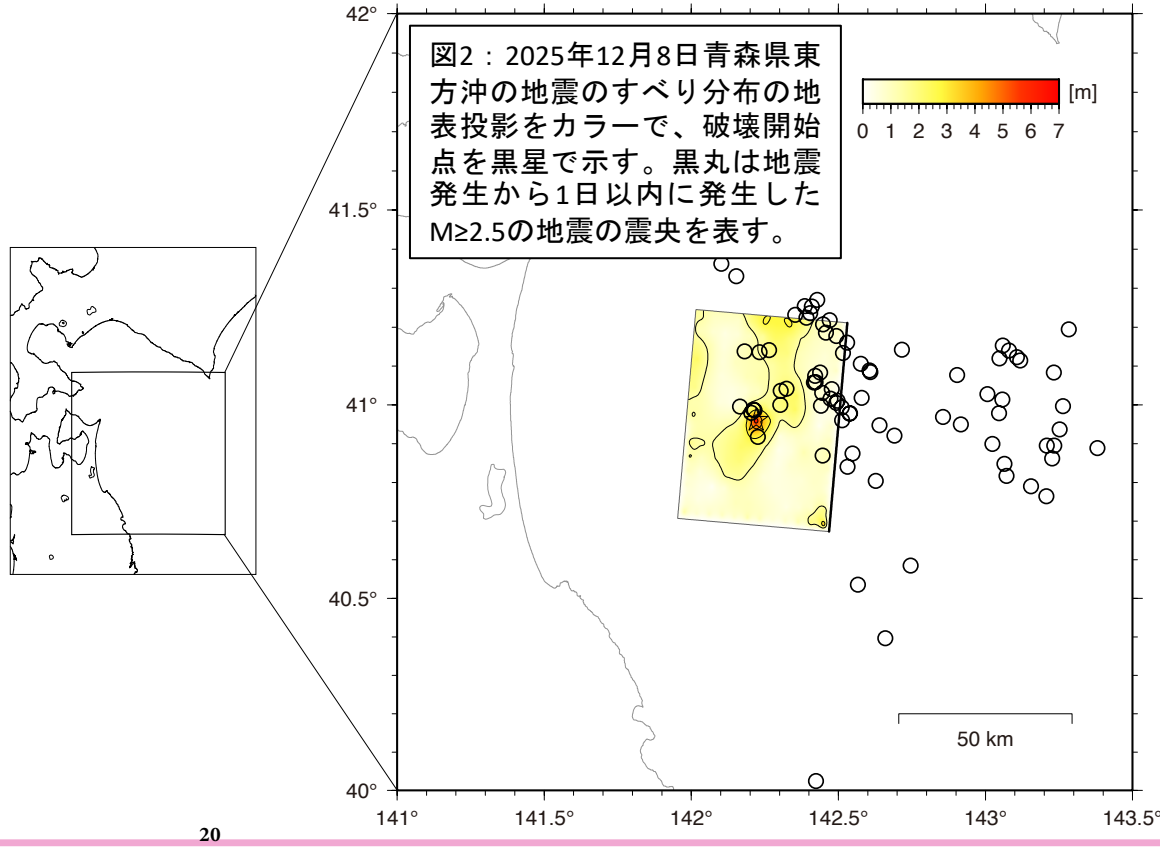


図1：観測点の分布と断層面の地表投影。
星印は破壊開始点を示す。



2025年12月8日青森県東方沖の地震の震源過程（暫定）

防災科学技術研究所 防災科研 NIED

図3：断層面上の最終すべり分布図。ベクトルは上盤のすべり方向とすべり量を、星印は破壊開始点を示す。

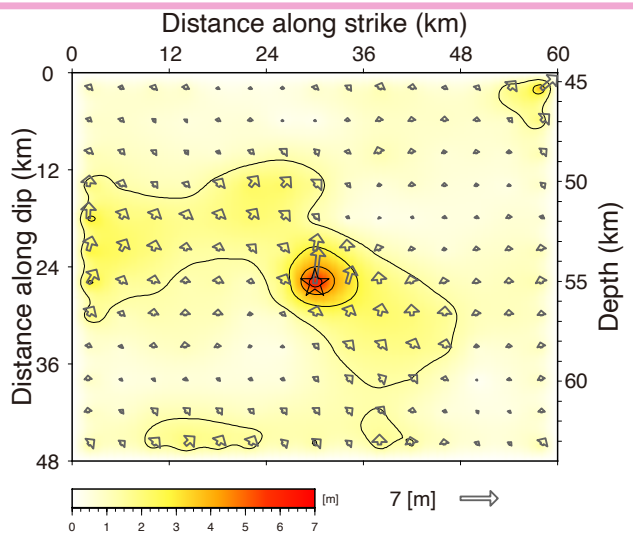


図4：破壊の時間進展過程。3秒ごとのすべり分布を地表投影している。

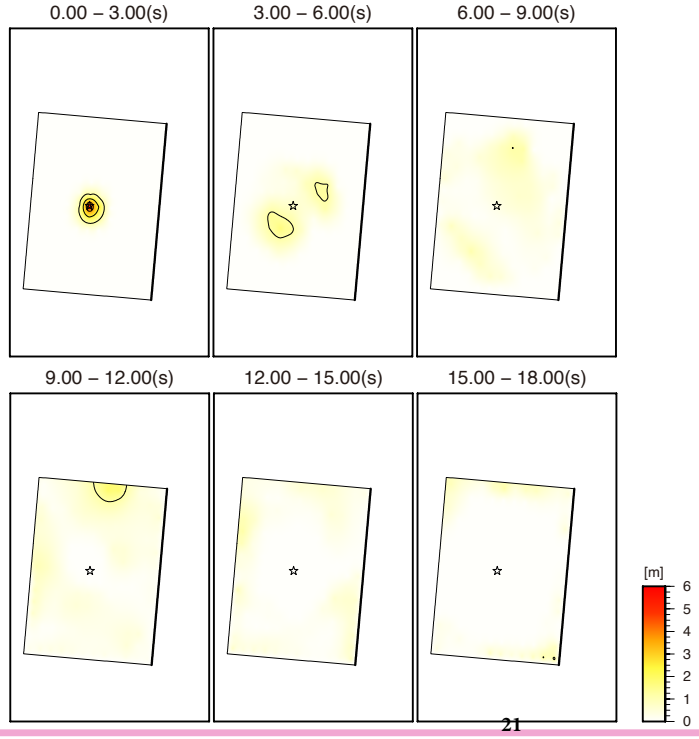
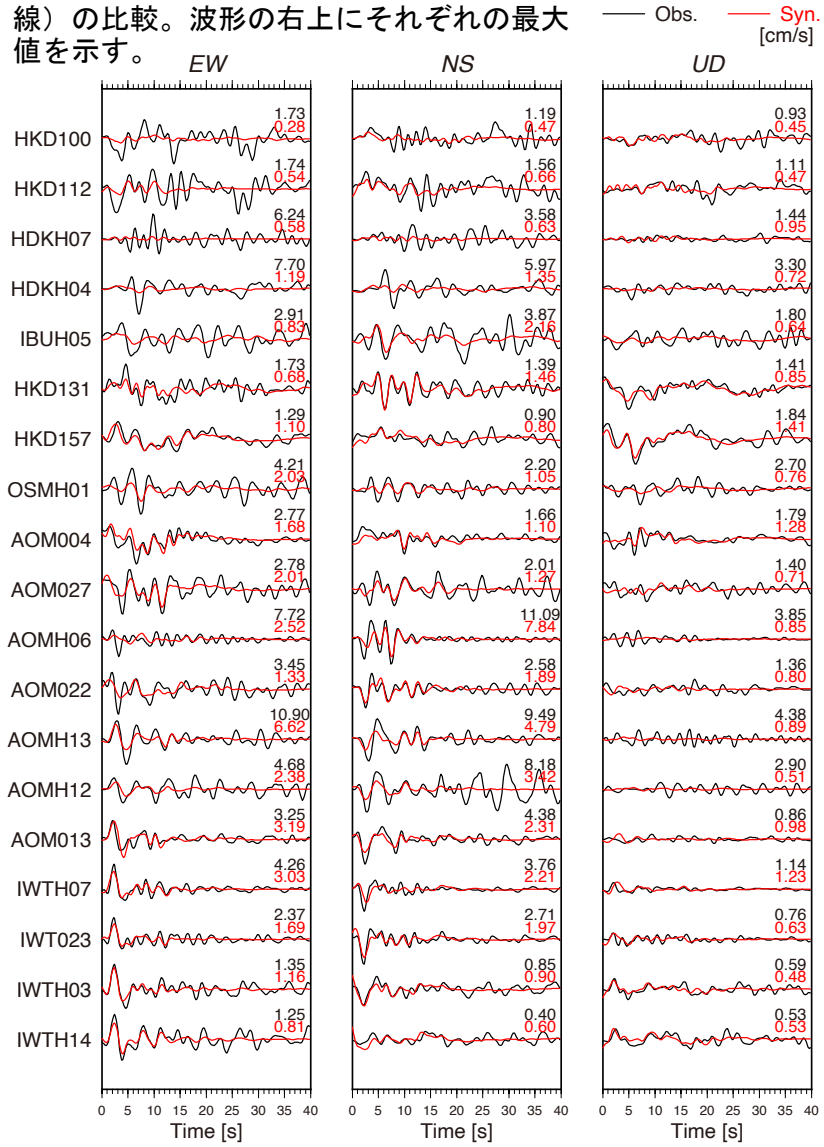
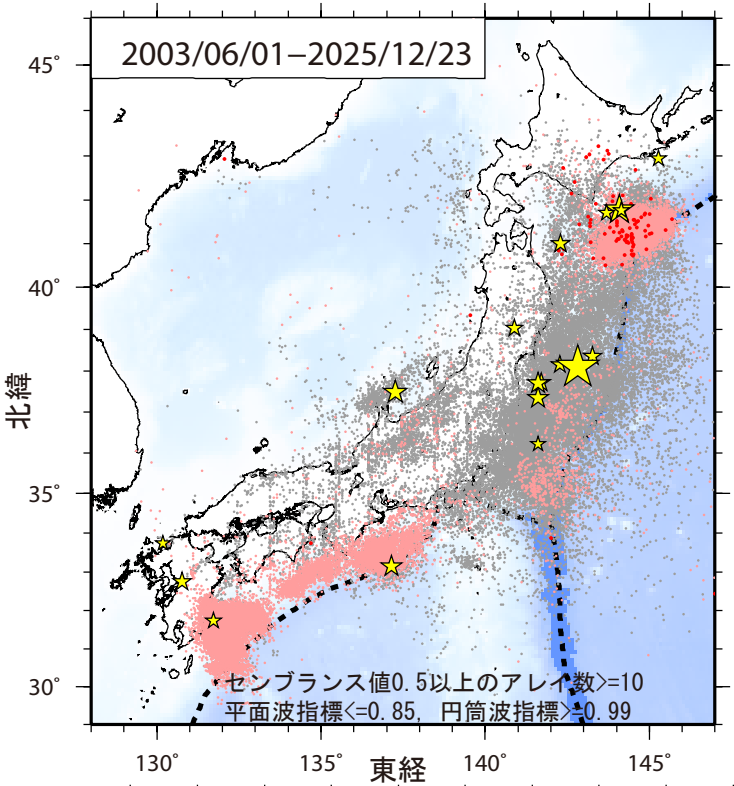


図5：観測波形（黒線）と理論波形（赤線）の比較。波形の右上にそれぞれの最大値を示す。



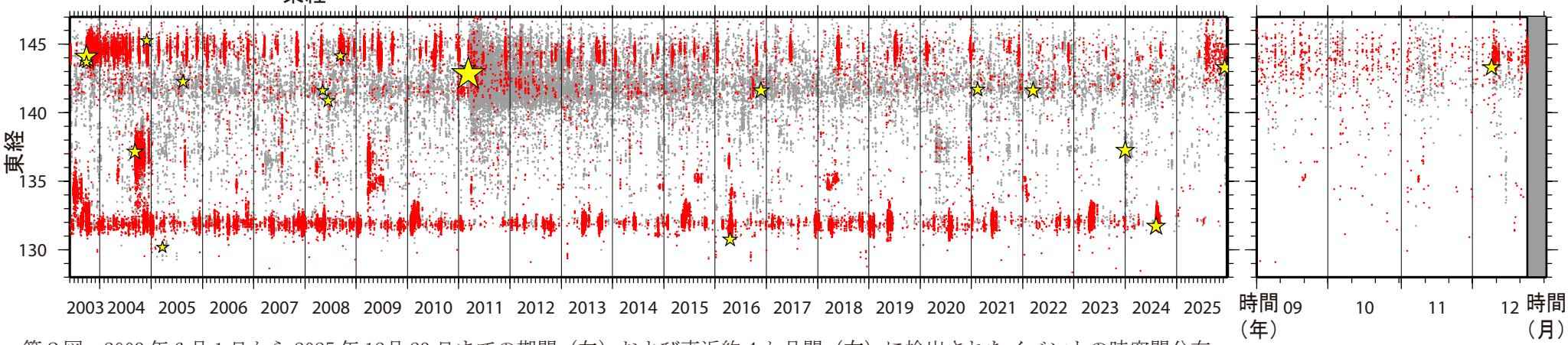
2025年12月8日青森県東方沖の地震の周辺域における浅部超低周波地震活動



●2025年12月8日の青森県東北沖の地震の発生後に
十勝沖およびその周辺域において超低周波地震活動を検出
●検出イベントにはカムチャツカ半島付近の地震（7月30日）
などの遠地地震の後続波（海溝会合部付近は二次波源に
なりやすい）を誤検出したものも含まれる

第１図．2003 年 6 月 1 日から 2025 年 12 月 23日 までの期間にアレイ解析によって検出されたイベントの震央分布．検出イベントを防災科研 Hi-net の手動または自動験測震源と照合し，対応する地震が見出されたイベントを灰色で，それ以外を桃色（2025 年 8 月 31 日以前），および赤色（9 月 1 日以降）の点でそれぞれ示す．これらは主として周期 10 秒以上に卓越する超低周波地震を表すが，除去しきれなかった通常の地震やそれらの後続波源も一部含まれる．期間内に発生した *M* 7 以上の地震（ただし，2011 年 ～ 2015 年の期間は東北地方太平洋沖地震の本震のみ）の震央を黄色星印で示す．

参考：過去の提出資料では
「アレイ数＞＝15」を基準として採用



第２図．2003 年 6 月 1 日から 2025 年 12月 23 日までの期間（左）および直近約 4 か月間（右）に検出されたイベントの時空間分布．検出されたイベントを防災科研 Hi-net 手動または自動験測震源と照合し，対応する地震が見出されたイベントを灰色で，それ以外を赤色の点でそれぞれ示す．その他は第 1 図に同じ．

防災科学技術研究所資料